

ΚΕΦΑΛΑΙΟ 2

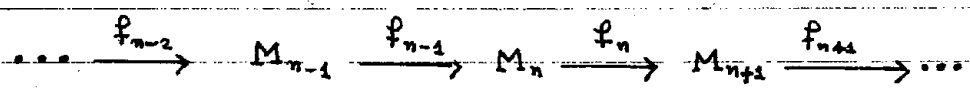
Μόδιои ομολογίας και συνομολογίας
αλυσωτών και συναλυσωτών συμπλόκων

Στο παρόν κεφάλαιο ορίζουμε τους μόδιους ομολογίας και συνομολογίας αλυσωτών και συναλυσωτών συμπλόκων, και μελετάμε τις κύριες ιδιότητές τους.

§ 2.1 Ακριβείς ακολουθίες

Ακολουθίες R-μοδίων και ομομορφισμών R-μοδίων καλούνται "ακριβείς" όταν ο πυρήνας καθενός των υπερερχόμενων ομομορφισμών ισούται με την εικόνα τού προηγούμενου ομομορφισμού. Τέτοιου είδους ακολουθίες αναφέρονται κατά τρόπο φυσικό σε πληθώρα σημαντικών θεωρημάτων της Ομολογικής Άλγεβρας και της Άλγεβρικής Τοπολογίας.

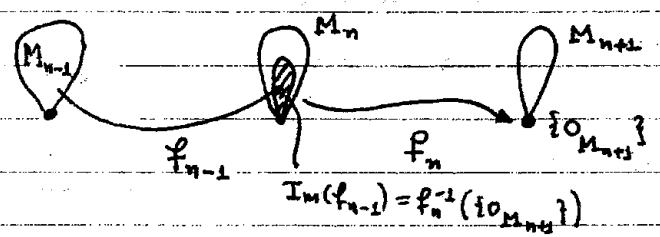
2.1.1. Ορισμός. Μια (πεπερασμένη ή μοναπλαίως ή αμφιπλάιως απείρως εκτενόμενη) ακολουθία



R-μοδίων και ομομορφισμών R-μοδίων είναι ακριβής στη n-οστή θέση όταν $\text{Im}(f_{n-1}) = \text{Ker}(f_n)$.

Η ακολουθία λέγεται ακριβής όταν είναι ακριβής σε κάθε όρο της.

2.1.2 Σημείωση (i) Σχηματικώς η ακριβεία της ακολουθίας παρίσταται ως εξής:



(ii) Η συνθήκη $\text{Im}(f_{n-1}) = \text{Ker}(f_n)$ ισοδυναμεί με τις $\left\{ \begin{array}{l} f_n \circ f_{n-1} = 0 \\ \text{Ker}(f_n) \subseteq \text{Im}(f_{n-1}) \end{array} \right\}$.

(70)

(iii) Ο ορισμός 2.1.1 παραμένει εν ισχύ ακόμα και όταν οι δείκτες "καθίστανται" αριθμοί οπότε είναι καθόλου αμορφοποίησι να ισχύει με την εικόνα που χρησιμοποιήσαμε τον.

(iv) Οιαδήποτε αριθμής ακολουθία της μορφής

$$0 \rightarrow M' \xrightarrow{f} M \xrightarrow{g} M'' \rightarrow 0 \quad \left(\begin{array}{l} 0 \rightarrow M' \text{ ή ένθεση} \\ M'' \rightarrow 0 \text{ ο τυφλωμένος} \\ \text{αμορφοποίησι} \end{array} \right)$$

καλείται βραχεία αριθμής ακολουθία.

2.1.3. Παραδείγματα (i) Ένας αμορφοποίησις R-μοδίων $f: M \rightarrow N$

είναι μονομορφοποίησις $\iff \eta \quad 0 \rightarrow M \xrightarrow{f} N$ είναι αριθμής

επιμορφοποίησις $\iff \eta \quad M \xrightarrow{f} N \rightarrow 0$ είναι αριθμής.

ισομορφοποίησις $\iff \eta \quad 0 \rightarrow M \xrightarrow{f} N \rightarrow 0$ είναι αριθμής.

Επίσης, εάν μια ακολουθία B-μοδίων και αμορφοποίησιν R-μοδίων

$$\dots \xrightarrow{g} M \xrightarrow{f} N \xrightarrow{h} \dots$$

είναι αριθμής, τότε ο f είναι

μονομορφοποίησις $\iff g=0$

επιμορφοποίησις $\iff h=0$

ισομορφοποίησις $\iff g=0$ και $h=0$

(ii) Εάν η $f: M \rightarrow N$ είναι αμορφοποίησις R-μοδίων, τότε

υφίσταται πάντοτε δύο βραχείες αριθμής ακολουθίες: η

$$0 \rightarrow \text{Ker}(f) \xrightarrow{i} M \xrightarrow{\pi_{\text{Ker}(f)}} \text{Coim}(f) \rightarrow 0,$$

(ένθεση) (φυσικός επιμορφοποίησις)

όπου $\text{Coim}(f) := M/\text{Ker}(f)$ η λεγόμενη επιεικόνα τῆς f ,
και η

$$0 \rightarrow \text{Im}(f) \xrightarrow{j} N \xrightarrow{\pi_{\text{Im}(f)}} \text{CoKer}(f) \rightarrow 0,$$

(ένθεση) (φυσικός επιμορφοποίησις)

όπου $\text{CoKer}(f) := N/\text{Im}(f)$ ο λεγόμενος συμπληρώμα τῆς f .

Επίσης, υφίσταται η αριθμής ακολουθία:

$$0 \rightarrow \text{Ker}(f) \xrightarrow{i} M \xrightarrow{f} N \xrightarrow{\pi_{\text{Im}(f)}} \text{CoKer}(f) \rightarrow 0.$$

(iii) Έστω $k \in \mathbb{N}, k \geq 2$. Εάν επιλέξουμε ένα γινόμενο $[a]_k$ τις \mathbb{Z}_k και ένα γινόμενο $[\beta]_{k^2}$ τις \mathbb{Z}_{k^2} , τότε σχηματίζεται μια βραχεία ακριβής ακολουθία \mathbb{Z} -μοδίων και ομομορφισμών \mathbb{Z} -μοδίων

$$0 \longrightarrow \mathbb{Z}_k \xrightarrow{f} \mathbb{Z}_{k^2} \xrightarrow{g} \mathbb{Z}_k \longrightarrow 0$$

όπου $f([a]_k) := [\beta]_{k^2}$ (επεκτενόμενα γραμμικώς επί ολοκλήρου τῶν \mathbb{Z}_k , βλ 1.6.) και $g([\beta]_{k^2}) := [a]_k$ (επεκτενόμενα γραμμικώς επί ολοκλήρου τῶν \mathbb{Z}_{k^2}).

(iv) Έστω $k \in \mathbb{N}, k \geq 2$. Τότε υφίσταται μια βραχεία ακριβής ακολουθία

$$0 \longrightarrow \mathbb{Z} \xrightarrow{f=-\times k} \mathbb{Z} \xrightarrow{g} \mathbb{Z}_k \longrightarrow 0$$

όπου $f(\xi) := \xi k, \forall \xi \in \mathbb{Z}$, και $g(\xi) := [\xi]_k, \forall \xi \in \mathbb{Z}$.

(v) Έστω $k \in \mathbb{N}, k \geq 2$, και έστω λ ένας διαιρέτης τῶν k (δηλ $\lambda \in \mathbb{Z}, \lambda | k$).

Θεωρώντας το ιδεώδες $\lambda \mathbb{Z}_k$ τῶν δακτύλιων \mathbb{Z}_k , έχουμε τη δυνατότητα κατασκευής μιας βραχείας ακριβούς ακολουθίας \mathbb{Z}_k -μοδίων και ομομορφισμῶν \mathbb{Z}_k -μοδίων

$$0 \longrightarrow \frac{k}{\lambda} \mathbb{Z}_k \xrightarrow{f} \mathbb{Z}_k \xrightarrow{g} \lambda \mathbb{Z}_k \longrightarrow 0$$

όπου f είναι η συνήθης ενδοεικὴ απεικόνιση και $g([\xi]_k) := \lambda [\xi]_k, \forall \xi \in \mathbb{Z}$

$$\begin{aligned} (\text{Ker}(g) &= \{[\xi]_k \in \mathbb{Z}_k \mid \lambda [\xi]_k = [0]_k\} = \{[\xi]_k \in \mathbb{Z}_k \mid \lambda \xi = \nu k, \text{ για κάποιον } \nu \in \{0, 1, \dots, k-1\}\}) \\ &= \frac{k}{\lambda} \mathbb{Z}_k = \text{Im}(f). \end{aligned}$$

(vi) Έστω K ένα σώμα. Τότε η βραχεία ακολουθία

$$0 \longrightarrow \langle t \rangle \xrightarrow{f} K[t] \xrightarrow{g} K \longrightarrow 0$$

όπου f η συνήθης ενδοεικὴ απεικόνιση και $g(\Phi(t)) :=$ σταθερὸς ὅρος τῶν $\Phi(t)$, $\forall \Phi(t) \in K[t]$, είναι ακριβής τόσο όταν οι ὅροι τῆς θεωρηθῶν K -μόδιοι (= K -διασπασματικοὶ χώροι) ὡς και όταν οι ὅροι τῆς θεωρηθῶν $K[t]$ -μόδιοι.

(vii) Έστω R δακτύλιος αναγωγῆς. Για οιαδήποτε ιδεώδη τῶν I_1, I_2 υπάρχει ακριβής ακολουθία τῆς μορφῆς

$$\begin{aligned} 0 \longrightarrow I_1 \cap I_2 \xrightarrow{\text{ένθεση } \psi} R \longrightarrow (R/I_1) \times (R/I_2) \longrightarrow R/(I_1 + I_2) \longrightarrow 0 \\ \psi: r \mapsto (r + I_1, r + I_2) \\ \cup \\ (r_1 + I_1, r_2 + I_2) \mapsto (r_1 + r_2) + (I_1 + I_2) \end{aligned}$$

(viii) Έστω R μια γκριχί με μοναδιαία παραγοντοποίηση (ΓΜΠ).

Εάν τα $x, y \in R$ έχουν $\mu\kappa\delta(x, y) \sim 1$ (δηλ. είναι σχετικώς πρώτα),

τότε υφίσταται μια βραχεία ακριβής ακολουθία R -μοδίων και ομομορφισμών R -μοδίων

$$0 \longrightarrow R \xrightarrow{f} R \oplus R \xrightarrow{g} I \longrightarrow 0$$

όπου $I = \langle xy \rangle$, $f(r) := (ry, rx)$, $\forall r \in R$, και $g(r, s) := rx - sy$,

$\forall (r, s) \in R \times R$. Αυτή καλείται ιδιαιτέρως εμπλοκή του Koszul

για τα x, y και παίζει σημαντικό ρόλο σε διάφορα θεωρήματα της Μεταθετικής Άλγεβρας.

Εν συνεχεία, θα αποδείξουμε ορισμένες χρήσιμες προτάσεις που αφορούν σε "συμπληρώσεις" στοιχειωδών διαγραμμάτων, τα οποία συμπληρωμάτων μία ή περισσότερες ακριβείς "γραμμές".

2.1.4. Πρόταση: Αδέντως ενός διαγράμματος R -μοδίων και ομομορφισμών R -μοδίων της μορφής (χωρίς τον h).

$$\begin{array}{ccccc}
 & & A & & \\
 & \swarrow \exists h & \downarrow \theta & & \\
 0 & \longrightarrow & M & \xrightarrow{f} & N & \longrightarrow & I
 \end{array}$$

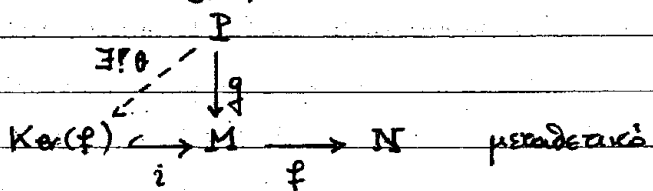
με τη "γραμμή" του ακριβή και $g \circ \theta = 0$, υπάρχει μοναδικά ορισμένος ομομορφισμός R -μοδίων $h: A \rightarrow M$, ο οποίος καθιστά το συμπληρωμένο διάγραμμα μεταθετικό.

Απόδειξη: Επειδή $g \circ \theta = 0$, έχουμε $\text{Im}(\theta) \subseteq \text{Ker}(g) \stackrel{\text{ακρίβεια}}{=} \text{Im}(f)$. Και επειδή ο f είναι κατ' ανάγκην μονομορφισμός (1.2.13(ii)), αρκεί να εφαρμοσθεί το θεώρημα 1.3.14. \square

2.1.5. Πρόταση: Έστω $f: M \rightarrow N$ ένας ομομορφισμός R -μοδίων και έστω $i: \text{Ker}(f) \hookrightarrow M$ ο φυσικός ένθεσις. Τότε

(i) $f \circ i = 0$

(ii) Για κάθε R -μόδιο P και κάθε ομομορφισμό R -μοδίων $g: P \rightarrow M$ με $f \circ g = 0$ υπάρχει μονοσήμαντος ορισμένος $\theta \in \text{Hom}_R(P, \text{Ker}(f))$, ο οποίος καθιστά το διάγραμμα

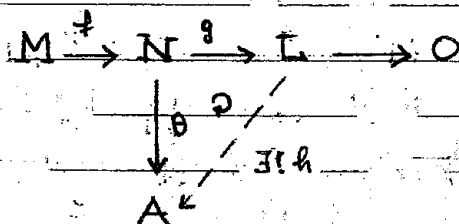


(Είναι μάλιστα δυνατόν να αποδειχθεί ότι το ζεύγος $(\text{Ker}(f), i)$ χαρακτηρίζεται μονοσήμαντος "μέχρι ισομορφισμώ" από τις εν λόγω ιδιότητες. Βλ. άσκηση 3 τού 4ου φυλλαδίου.)

Απόδειξη. Το (i) είναι προφανές και το (ii) έπεται άμεσα από την Πρόταση 2.1.4. \square

"Αντίκλι" τής προτάσεως 2.1.4 είναι η εξής:

2.1.6. Πρόταση: Δοθέντος ενός διαγράμματος R -μοδίων και ομομορφισμών R -μοδίων τής μορφής (χωρίς τα h)



με τη "γραφή" του ακριβή και $\theta \circ f = 0$, υπάρχει μονοσήμαντος ορισμένος $h \in \text{Hom}_R(L, A)$, ο οποίος καθιστά το διάγραμμα μεταθετικό.

Απόδειξη. Επειδή $\theta \circ f = 0$, έχουμε $\text{Im}(f) \subseteq \text{Ker}(\theta)$. Και επειδή ο g είναι κατ'ανάγκην επιμορφισμός (βλ. 2.1.3(ii)), αρκεί να εφαρμοσθεί το Θεώρημα 1.3.13. \square

2.1.7. Πρόταση. Έστω $f: M \rightarrow N$ ένας ομομορφισμός R -μοδίων και έστω $\pi = \pi_{\text{Im}(f)}: N \rightarrow \text{Coker}(f) (= N/\text{Im}(f))$ ο φυσικός ομομορφισμός. Τότε (i) $\pi \circ f = 0$
 (ii) Για κάθε R -μόδιο P και κάθε ομομορφισμό R -μοδίων $g: N \rightarrow P$ με $g \circ f = 0$ $\exists!$ $\theta \in \text{Hom}_R(\text{Coker}(f), P)$, ο οποίος καθιστά το διάγραμμα

$$\begin{array}{ccccc}
 M & \xrightarrow{f} & N & \xrightarrow{\pi} & \text{Coker}(f) \\
 & & \downarrow g & \swarrow \exists! \theta & \\
 & & P & &
 \end{array}$$

μεταθετικό.

(Είναι μάλιστα δυνατόν να αποδειχθεί ότι το ζεύγος $(\text{Coker}(f), \pi)$ χαρακτηρίζεται μονοσήμαντως "μέχρι ισομορφισμού" από τις εν λόγω ιδιότητες. Βλ. πρόταση 4 του 4ου φυλλαδίου.)

Απόδειξη. Το (i) είναι προφανές και το (ii) έπεται άμεσα από την πρόταση 2.1.6. \square

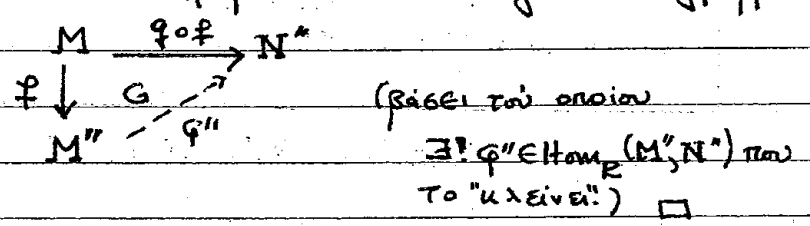
2.1.8. Πρόταση Δοθέντος ενός μεταθετικού διαγράμματος R -μοδίων και ομομορφισμών R -μοδίων (χωρίς τον φ'') τις μορφές

$$\begin{array}{ccccccc}
 M' & \xrightarrow{f'} & M & \xrightarrow{f} & M'' & \rightarrow & 0 \\
 \downarrow \varphi' & \circlearrowleft & \downarrow \varphi & \circlearrowleft & \downarrow \exists! \varphi'' & & \\
 N' & \xrightarrow{g'} & N & \xrightarrow{g} & N'' & &
 \end{array}$$

με αμφότερες τις γραμμές των ακριβείων, υπάρχει μονοσήμαντως ορισμένος $\varphi'' \in \text{Hom}(M'', N'')$ που το "εμπληρώνει μεταθετικά" (δηλ. $\varphi'' \circ f = g \circ \varphi$).

Απόδειξη. Έστω $y \in \text{Ker}(f)$. Επειδή $\text{Ker}(f) = \text{Im}(f')$ υπάρχει $x \in M'$: $y = f'(x)$, οπότε $\varphi(y) = \varphi(f'(x)) = (\varphi \circ f')(x) = g'(f'(x))$
 $\implies (g \circ \varphi)(y) = g(\varphi(y)) = \underbrace{(g \circ g' \circ \varphi')}(x) = 0_{N''}$, απ' όπου ^{μπαθ. διαφ.} έπεται ότι $\parallel \leftarrow$ ακριβεία 0

$\text{Ker}(f) \subseteq \text{Ker}(g \circ f)$. Επειδή ο f είναι επιμορφισμός (βλ. 2.1.3(ii)), αρκεί η εφαρμογή των θεωρημάτων 1.3.13 για το διάγραμμα

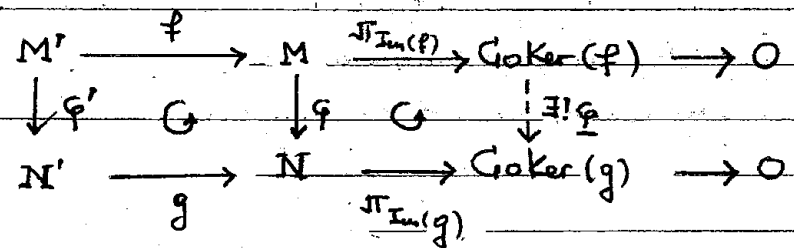


2.1.9. Πρόταση Εάν οι M, N, M', N' είναι R -μδίοι και οι $f: M' \rightarrow M, g: N' \rightarrow N, \varphi: M \rightarrow N, \varphi': M' \rightarrow N'$ ομομορφισμοί R -μδίων με $\varphi \circ f = g \circ \varphi'$, τότε υπάρχει μονοσήμαντος ορισμένος $\varphi \in \text{Hom}_R(\text{CoKer}(f), \text{CoKer}(g))$, ο οποίος καθιστά το διάγραμμα

$$\begin{array}{ccc}
 M & \xrightarrow{\varphi} & N \\
 \pi_{\text{Im}(f)} \downarrow & \varphi & \downarrow \pi_{\text{Im}(g)} \\
 \text{CoKer}(f) & \xrightarrow{\varphi} & \text{CoKer}(g)
 \end{array}$$

μεταθετικό.

Απόδειξη Αρκεί η εφαρμογή της προτάσεως 2.1.8 για το διάγραμμα



(Σημειωτέον ότι $\varphi(m + \text{Im}(f)) = \varphi(m) + \text{Im}(g), \forall m \in M$) \square

"Δυϊκή" της προτάσεως 2.1.8 είναι η εξής:

2.1.10. Πρόταση: Δοθέντος ενός μεταθετικού διαγράμματος R -μδίων και ομομορφισμών R -μδίων (χωρίς τον φ'') της μορφής

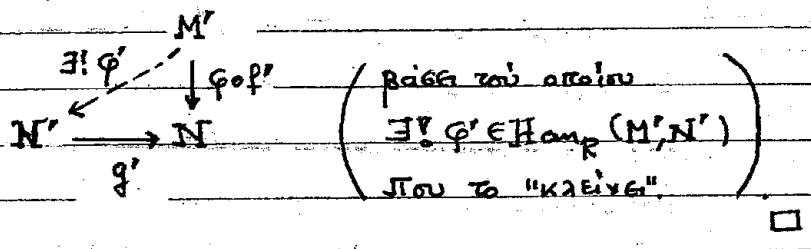
$$\begin{array}{ccccccc}
 & & M' & \xrightarrow{f'} & M & \xrightarrow{f} & M'' \\
 & & \downarrow \varphi' & \circlearrowleft & \downarrow f & \circlearrowleft & \downarrow \varphi'' \\
 0 & \rightarrow & N' & \xrightarrow{g'} & N & \xrightarrow{g} & N''
 \end{array}$$

76

με αλγόριθμο τις γραμμές των αριθμούς, υπάρχει μονοσήμαντως
 ορισμένος $\varphi' \in \text{Hom}_R(M', N')$ που το "επιτελείται με αλγόριθμο"
 (δίν. $g' \circ \varphi' = \varphi \circ f'$).

Απόδειξη Έστω $x \in M'$. Τότε $g(\varphi(f'(x))) = (g \circ \varphi \circ f')(x) = (\varphi'' \circ f' \circ f')(x) = 0_{N'}$
 $\Rightarrow (\varphi \circ f')(x) \in \text{Ker}(g) = \text{Im}(g')$, οπότε $\text{Im}(\varphi \circ f') \subseteq \text{Im}(g')$.

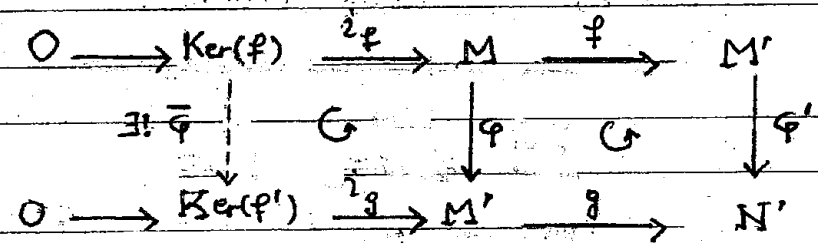
Επειδή ο g' είναι μονομορφισμός (βλ. 2.1.3(i)), αρκεί η
 εφαρμογή του θεωρήματος 1.3.14 για το διάγραμμα



2.1.11 Πρόταση. Εάν οι M, M', N, N' είναι R -μόδια και οι
 $f: M \rightarrow M', g: N \rightarrow N', \varphi: M \rightarrow N, \varphi': M' \rightarrow N'$ ομομορφισμοί R -μοδίων με $\varphi' \circ f = g \circ \varphi$,
 τότε υπάρχει μονοσήμαντως ορισμένος $\bar{\varphi} \in \text{Hom}_R(\text{Ker}(f), \text{Ker}(g))$
 ο οποίος καθιστά το διάγραμμα

$$\begin{array}{ccc}
 \text{Ker}(f) & \xrightarrow{\bar{\varphi}} & \text{Ker}(g) \\
 \exists! \bar{\varphi} \downarrow & \subset & \downarrow \varphi \\
 M & \xrightarrow{\varphi} & M'
 \end{array}
 \quad \begin{array}{l} (i_f, i_{f'}: \text{εν θέσεις}) \\ \text{μεταδεσνικά.} \end{array}$$

Απόδειξη. Αρκεί η εφαρμογή της προτάσεως 2.1.10
 για το διάγραμμα



(Σημειώτεον ότι $\bar{\varphi}(x) = \varphi(x), \forall x \in \text{Ker}(f)$)

□

2.1.12 Ορισμός: Μια ακολουθία R-μοδίων και ομομορφισμών R-μοδίων

$$\dots \xrightarrow{f_{n-2}} M_{n-1} \xrightarrow{f_{n-1}} M_n \xrightarrow{f_n} M_{n+1} \xrightarrow{f_{n+1}} \dots$$

διασπάται στη θέση n όταν ο $\text{Ker}(f_n) = \text{Im}(f_{n-1})$ είναι ευθύς προσθετός του M_n (πρβλ. 1.5.22 (ii)). Μια βραχεία ακριβής ακολουθία $0 \rightarrow A \xrightarrow{f} B \xrightarrow{g} C \rightarrow 0$ καλείται διασπώμενη όταν διασπάται στον (κεντρικό της όρο) B.

2.1.13 Θεώρημα. Έστω $0 \rightarrow A \xrightarrow{f} B \xrightarrow{g} C \rightarrow 0$ μια βραχεία ακριβής ακολουθία. Τότε οι εξής συνθήκες είναι ισοδύναμες:
(i) Ο g διαθέτει δεξιό αντίστροφο, ήτοι $\exists \beta \in \text{Hom}_R(C, B) : g \circ \beta = \text{Id}_C$
(ii) Ο f διαθέτει αριστερό αντίστροφο, ήτοι $\exists \alpha \in \text{Hom}_R(B, A) : \alpha \circ f = \text{Id}_A$
(iii) Η εν λόγω ακολουθία είναι διασπώμενη.

$$\left[\begin{aligned} \text{Μάλιστα, ισχύει: } B &\cong \text{Im}(f) \oplus \text{Ker}(\alpha) \quad (\text{όπου } \alpha \text{ όπως στο (i)}) \\ &\cong \text{Ker}(g) \oplus \text{Im}(\beta) \quad (\text{όπου } \beta \text{ όπως στο (ii)}) \\ &\cong A \oplus C. \end{aligned} \right]$$

Απόδειξη. (i) \Rightarrow (iii) Έστω $\varphi: A \oplus C \rightarrow B$ ο ομομορφισμός R-μοδίων ο οριζόμενος μέσω του τύπου $\varphi(a, c) := f(a) + \beta(c), \forall (a, c) \in A \oplus C$. Τότε το ακόλουθο διάγραμμα (με ακριβείς γραμμές) είναι μεταθετικό:

$$\begin{array}{ccccccc} 0 & \longrightarrow & A & \xrightarrow{\text{in}_A} & A \oplus C & \xrightarrow{\text{pr}_C} & C & \longrightarrow & 0 \\ & & \parallel & & \downarrow \varphi & & \downarrow \text{Id}_C & & \parallel \\ 0 & \longrightarrow & A & \xrightarrow{f} & B & \xrightarrow{g} & C & \longrightarrow & 0 \end{array}$$

Επειδή οι Id_A, Id_C είναι ισομορφισμοί, και η φ θα είναι κατ' ανάγκην ισομορφισμός επί τη βάση της ασκήσεως 17(ii) του 4ου κεφαλαίου. (Οι λοιποί ισομορφισμοί έπονται από την άσκηση 3 του 2ου κεφαλαίου).

(iii) \Rightarrow (i) Έστω ότι η βραχεία ακριβής ακολουθία είναι διασπώμενη. Τότε $B = \text{Ker}(g) \oplus D$, για κάποιο υπομόδιο D του B. Επιμένω,

κάθε $b \in B$ γράφεται μονοσήμαντως ως άθροισμα $b = y + d$, όπου $y \in \text{Ker}(g)$ και $d \in D$. Επειδή η $g: B \rightarrow C$ είναι επιρριπτική και $g(b)$, και η $g|_D: D \rightarrow C$ είναι επιρριπτική. Όμως η $g|_D$ είναι και επιρριπτική, διότι $\forall d \in \text{Ker}(g|_D)$ έχουμε $0_C = g|_D(d) = g(d)$, οπότε $d \in \text{Ker}(g) \cap D = \{0_B\}$. Άρα η $g|_D$ είναι ισομορφισμός και αρκεί να θέσουμε $\beta := (g|_D)^{-1}$.

(ii) \Rightarrow (iii) Ορίζουμε την $\psi: B \rightarrow A \oplus C$ μέσω τού τύπου

$\psi(b) := \alpha(b) + g(b)$, $\forall b \in B$, δείχνουμε - όπως και προηγουμένως - ότι η ψ είναι ισομορφισμός χρησιμοποιώντας το μεταθετικό διάγραμμα (με ακριβείς γραμμές):

$$\begin{array}{ccccccccc}
 0 & \longrightarrow & A & \xrightarrow{f} & B & \xrightarrow{g} & C & \longrightarrow & 0 \\
 & & \downarrow \text{Id}_A & & \downarrow \psi & & \downarrow \text{Id}_C & & \\
 0 & \longrightarrow & A & \xrightarrow{\text{in}_A} & A \oplus C & \xrightarrow{\text{pr}_C} & C & \longrightarrow & 0
 \end{array}$$

(iii) \Rightarrow (ii) Έστω ότι η βραχεία ακριβής ακολουθία είναι διασπώμενη.

Τότε $B = \text{Im}(f) \oplus E$, για κάποιο υπομέδιο E τού B , και κάθε $b \in B$ γράφεται μονοσήμαντως ως άθροισμα $b = y + e$, όπου $y \in \text{Im}(f)$ και $e \in E$. Επειδή ο f είναι μονομορφισμός, η ίσα (αρχίως) $f^{-1}(y)$ είναι μονοσήμαντο, ας πούμε $f^{-1}(y) = \{x\}$.

Ορίζουμε την απάντηση $\alpha: B \rightarrow A$ μέσω τού τύπου $\alpha(b) := \alpha(y + e) := f^{-1}(y)$, παρατηρούμε ότι αυτή είναι ομομορφισμός και ότι $\forall a \in A: \alpha(f(a)) = f^{-1}(f(a)) = a \Rightarrow \alpha \circ f = \text{Id}_A$. \square

2.1.14. Παράδειγμα (i) ως παράδειγμα μιας μη διασπώμενης βραχείας ακριβούς ακολουθίας αναγράφουμε την

$$0 \rightarrow \mathbb{Z} \xrightarrow{-x^2} \mathbb{Z} \rightarrow \mathbb{Z}_2 \rightarrow 0$$

(βλ. 2.1.3 (iv)). Ως γνωστόν (βλ. 1.3.12) η $f = -x^2$

δεν διαθίγει κανέναν ομομορφικό \mathbb{Z} -μοδίο ως αριστερό αντίστοιχό του!

(ii) Θεωρώντας τη βραχεία ακριβή ακολουθία 2.1.3 (vi):

$$0 \rightarrow \langle t \rangle \xrightarrow{f} K[t] \xrightarrow{g} K \rightarrow 0$$

Παρατηρούμε ότι αυτή είναι διασπώμενη ως ακολουθία ομομορφισμών K -μοδίων (= K -διανυσματικών χώρων). Ορίζοντας, επί παραδείγματι, την απεικόνιση $\alpha: K[t] \rightarrow \langle t \rangle$, διαπιστώνουμε εύκολα

$$\sum_{j=0}^{\infty} \lambda_j t^j \mapsto \sum_{j=1}^{\infty} \lambda_j t^j$$

ότι είναι ομομορφισμός δ.χ. με $\alpha \circ f = \text{Id}_{\langle t \rangle}$.

Ωστόσο, η ίδια ακολουθία, θεωρούμενη ως ακολουθία ομομορφισμών $K[t]$ -μοδίων, δεν διασπάται στον $K[t]$. Πράγματι: υποθέτοντας ότι υπάρχει ομομορφισμός $K[t]$ -μοδίων $\alpha: K[t] \rightarrow \langle t \rangle$ με $\alpha \circ f = \text{Id}_{\langle t \rangle}$, θεωρούμε την εικόνα $\alpha(1_K)$ τού 1_K μέσω τού α . Επειδή (εφ' υποθέσεως) $\alpha|_{\langle t \rangle} = \text{Id}_{\langle t \rangle}$, εάν $\alpha(1_K) = t \Phi(t)$ (για κατάλληλο $\Phi(t) \in K[t]$), έχουμε $\alpha(t) \stackrel{!}{=} \alpha(t \cdot 1_K) \stackrel{!}{=} t \alpha(1_K) = t^2 \Phi(t) \Rightarrow t = t^2 \Phi(t)$,
 \parallel $(\alpha \text{ Κβ1-μ.})$ Πράγμα ΑΤΟΠΟ!
 t

Πρόταση 2.1.15. Εάν η $0 \rightarrow A \xrightarrow{f} B \xrightarrow{g} C \rightarrow 0$ είναι μια βραχεία ακριβής ακολουθία και ο C ελεύθερος R -μόδιος, τότε αυτή είναι διασπώμενη.

Απόδειξη: Έστω $(c_j)_{j \in J}$ μια βάση τού C . Επειδή ο g είναι ομομορφισμός, $\exists b_j \in B: g(b_j) = c_j, \forall j \in J$. Εάν επί τού συνόλου των στοιχείων της επελεγθείσας βάσεως ορίσουμε την απεικόνιση φ θέτοντας $\varphi(c_j) := b_j, \forall j \in J$, και κατόπιν την επεκτείνουμε γραμμικώς (βλ. Θεώρημα 1.6.14), κατασκευάζουμε έναν ομομορφισμό R -μοδίων $\beta: C \rightarrow B$ με $\beta|_{(c_j)_{j \in J}} = \varphi$ και $g \circ \beta = \text{Id}_C$. Άρα η ανωτέρω βραχεία ακριβής ακολουθία διασπάται στον B σύμφωνα με το Θεώρημα 2.1.13. \square

§ 2.2 Τεχνικές χειρισμού μεταθετικών διαγραμμάτων
και ακριβών ακολουθιών

Στην παρόβα ενότητα παρατίθεται μια σειρά από χρήσιμα θεωρητικά λήμματα τα οποία αποσκοπούν στη διευκόλυνση των χειρισμών που απαιτούνται κατά την επίλυση προβλημάτων σχετιζόμενων με τη μελέτη "μεγάλων" μεταθετικών διαγραμμάτων.

2.2.1. Λήμμα των τεσσάρων Δοθέντος ενός μεταθετικού διαγράμματος B-μοδίων και ομομορφισμών R-μοδίων της μορφής

$$\begin{array}{ccccccc} A & \xrightarrow{f} & B & \xrightarrow{g} & C & \xrightarrow{h} & D \\ \alpha \downarrow & & \downarrow \beta & & \downarrow \gamma & & \downarrow \delta \\ A' & \xrightarrow{f'} & B' & \xrightarrow{g'} & C' & \xrightarrow{h'} & D' \end{array}$$

με αμφότερες τις γραμμές του ακριβείς, ισχύουν τα εξής:

- (i) Εάν οι α και γ είναι επιμορφισμοί και ο δ μονομορφισμός, τότε ο β είναι επιμορφισμός.
- (ii) Εάν ο α είναι επιμορφισμός και οι β και δ μονομορφισμοί, τότε ο γ είναι μονομορφισμός.

Απόδειξη: (i) Έστω τυχόν $b' \in B'$. Επειδή η γ είναι επιρριπτική, υπάρχει $c \in C$; $g'(b') = \gamma(c)$. Λόγω της μεταθετικότητας στο δεξιό τετράγωνο, $\delta(h(c)) = h'(g(c)) = h'(g'(b')) = \underbrace{(h' \circ g')}(b') = 0_{D'}$. Άρα

$$h(c) \in \text{Ker}(\delta) = \{0_D\} \Rightarrow h(c) = 0_D \Rightarrow c \in \text{Ker}(h) = \text{Im}(g)$$

$\Rightarrow c = g(b)$, για κάποιο $b \in B$. Λόγω της μεταθετικότητας στο μεσαίο τετράγωνο λαμβάνουμε

$$g'(b') = \gamma(c) = \gamma(g(b)) = g'(\beta(b)) \Rightarrow b' - \beta(b) \in \text{Ker}(g')$$

$\Rightarrow b' - \beta(b) = f'(a')$, για κάποιο $a' \in A'$. Επειδή η α είναι επιρριπτική, υπάρχει $a \in A$: $a' = \alpha(a)$, οπότε, λόγω της μεταθετικότητας στο αριστερό τετράγωνο, έχουμε

$$b' - \beta(b) = f'(\alpha(a)) = \beta(f(a)) \Rightarrow b' = \beta(b) + \beta(f(a)) = \beta(b + f(a)) \in \text{Im}(\beta)$$

Κατά συνέπεια, ο β είναι όντως ένας επιμορφισμός.

(ii) Έστω τυχόν $c \in \text{Ker}(\gamma)$. Τότε

$$\delta(h(c)) = h'(\gamma(c)) = h'(0_{A'}) = 0_{B'} \Rightarrow h(c) \in \text{Ker}(\delta) = \{0_{D'}\}, \text{ οπότε}$$

$$c \in \text{Ker}(h) = \text{Im}(g) \Rightarrow c = g(b), \text{ για κάποιο } b \in B. \text{ Ως εκ τούτου,}$$

$$0_{A'} = \gamma(c) = \gamma(g(b)) = g'(\beta(b)) \Rightarrow \beta(b) \in \text{Ker}(g') = \text{Im}(f')$$

$$\Rightarrow \beta(b) = f'(a'), \text{ για κάποιο } a' \in A'. \text{ Επειδή } \alpha \text{ είναι εφ. ποθέ-}$$

σεως επιρριπτική, $a' = \alpha(a)$, για κάποιο $a \in A$, οπότε

$$\beta(b) = f'(\alpha(a)) = \beta(f(a)) \Rightarrow b = f(a) \Rightarrow c = g(b) = \underset{0}{(g \circ f)}(a) = 0_{A'}$$

Άρα ο γ είναι όντως μονομορφισμός. \square

► Η ανωτέρω εφαρμοσθείσα τεχνική απόδειξης είναι γνωστή ως "κινητό διαγράμμα".

2.2.2. Λήμμα των Πέντε. Δοθέντος ενός μεταθετικού διαγράμματος R -μοδίων και ισομορφισμών R -μοδίων της μορφής

$$\begin{array}{ccccccccc} A & \longrightarrow & B & \longrightarrow & C & \longrightarrow & D & \longrightarrow & E \\ \alpha \downarrow & & G \downarrow & & \beta \downarrow & & G \downarrow & & \delta \downarrow & & G \downarrow & & \epsilon \downarrow \\ A' & \longrightarrow & B' & \longrightarrow & C' & \longrightarrow & D' & \longrightarrow & E' \end{array}$$

με αμφότερες τις γραμμές του ακριβείς, ισχύουν τα εξής:

- (i) Εάν ο α είναι επιμορφισμός και οι β και δ μονομορφισμοί, τότε ο γ είναι μονομορφισμός.
- (ii) Εάν οι β και δ είναι επιμορφισμοί και ο ϵ μονομορφισμός, τότε ο γ είναι επιμορφισμός.
- (iii) Εάν οι α, β, δ και ϵ είναι ισομορφισμοί, τότε και ο γ είναι ισομορφισμός.

Απόδειξη: (i) Τούτο έπεται από την εφαρμογή του λήμματος 2.2.1 (ii) για το υποδιάγραμμα

$$\begin{array}{ccccccc} A & \longrightarrow & B & \longrightarrow & C & \longrightarrow & D \\ \alpha \downarrow & & G \downarrow & & \beta \downarrow & & G \downarrow & & \delta \downarrow \\ A' & \longrightarrow & B' & \longrightarrow & C' & \longrightarrow & D' \end{array}$$

(ii) Τούτο έπεται από την εφαρμογή του λήμματος 2.2.1 (i) για το υποδιάγραμμα

$$\begin{array}{ccccccc}
 B & \longrightarrow & C & \longrightarrow & D & \longrightarrow & E \\
 \beta \downarrow & & \alpha \downarrow & & \delta \downarrow & & \epsilon \downarrow \\
 B' & \longrightarrow & C' & \longrightarrow & D' & \longrightarrow & E'
 \end{array}$$

Τέλος, το (iii) έπεται άμεσα από τα (i) και (ii). \square

2.2.3 Πρόταση (Βραχύ Λήμμα των Πέντε) Αρκούντως ενός

μεταθετικού διαγράμματος R-μοδίων και αμορφομορφισμών R-μοδίων τις μορφές

$$\begin{array}{ccccccccc}
 0 & \longrightarrow & A & \longrightarrow & B & \longrightarrow & C & \longrightarrow & 0 \\
 \parallel & & \alpha \downarrow & & \beta \downarrow & & \gamma \downarrow & & \parallel \\
 0 & \longrightarrow & A' & \longrightarrow & B' & \longrightarrow & C' & \longrightarrow & 0
 \end{array}$$

με αμφότερες τις γραμμές του ακριβείς, ισχύουν τα εξής:

- (i) Εάν οι α, γ είναι μονομορφοί, τότε και ο β είναι μονομορφοί.
- (ii) Εάν οι α, γ είναι επιμορφοί, τότε και ο β είναι επιμορφοί.
- (iii) Εάν οι α, γ είναι ισομορφοί, τότε και ο β είναι ισομορφοί. \square

Εν συνεχεία, θα διατυπώσουμε και αποδείξουμε το λεγόμενο "λήμμα του φιδιού" (γνωστό και ως "λήμμα των πινάκων και επιπινάκων" ή "λήμμα του JIK-JAK (επιδεστικών) ομομορφισμών"), μέσω του οποίου κατασκευάζεται η μακρά ακριβής ακολουθία R-μοδίων αμορφομορφισμών (που επάγεται από μια βραχεία ακριβή ακολουθία αμορφομορφισμών, βλ. 2.3.14). Επειδή η "κλασική" απόδειξη (μέσω "κινηχητού διαγράμματος") είναι αρκετών μακροσκελής (βλ. άσκηση 20 του 4ου φυλλαδίου), θα παραθέσουμε εδώ μια διαφορετική, κομψή και σύντομη απόδειξη που οφείλεται στον J. Lambek και κάνει χρήση του "λήμματος των δύο τετραγώνων" (βλ. 2.2.5).

2.2.4 Ορισμός. Έστω \neq ένα τετραγωνικό μεταθετικό διαγράμμα R-μοδίων και αμορφομορφισμών R-μοδίων

$$\begin{array}{ccc}
 A & \xrightarrow{f} & B \\
 \alpha \downarrow & \neq & \downarrow \beta \\
 C & \xrightarrow{g} & D
 \end{array}$$

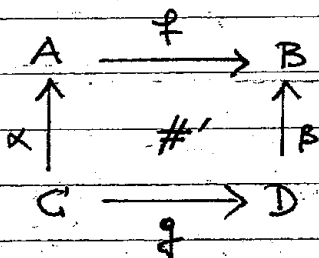
Ορίζουμε ως λόγο εικόνων (image ratio) τού # τον πηλικομόδιο

$$\text{Im.rat.}(\#) := (\text{Im}(\beta) \cap \text{Im}(\alpha)) / \text{Im}(\beta \circ \alpha)$$

Και ως λόγο πυρήνων (kernel ratio) τού # τον πηλικομόδιο

$$\text{Ker.rat.}(\#) := \text{Ker}(\beta \circ \alpha) / (\text{Ker}(\alpha) + \text{Ker}(\beta))$$

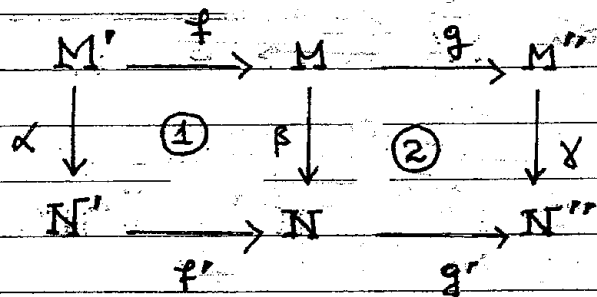
Σημειώνω ότι για διαγράμματα #' τής μορφής



(με τα κατακόρυφα βέλη στραμμένα "προς τα άνω") ορίζουμε κατ'αναλογία

$$\text{Im.rat.}(\#') := (\text{Im}(\beta) \cap \text{Im}(\varphi)) / \text{Im}(\beta \circ \alpha) \text{ και } \text{Ker.rat.}(\#') := \text{Ker}(\beta \circ \alpha) / (\text{Ker}(\alpha) + \text{Ker}(\psi))$$

2.2.5. Λήμμα των δύο τετραγώνων. Για οιοδήποτε μεταθετικό διάγραμμα R-μοδίων και ομομορφισμών R-μοδίων αποτελούμενο από δύο τετράγωνα τής μορφής



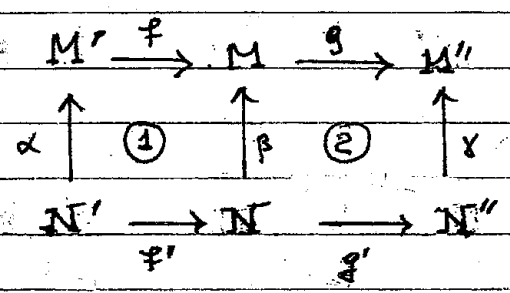
και έχον αμφότερες τις γραμμές του ακριβείς, υφίσταται ένας ισομορφισμός:

$$\text{Im.rat.}(\textcircled{1}) \cong \text{Ker.rat.}(\textcircled{2})$$

Απόδειξη. Προφανώς, $\text{Im}(\beta) \cap \text{Ker}(g') = \{\beta(m) \mid m \in M \text{ και } g'(\beta(m)) = 0_{N''}\}$
 $= \beta(\text{Ker}(g' \circ \beta))$ και $\text{Im}(\beta \circ f) = \beta(\text{Im}(f)) = \beta(\text{Ker}(g)) = \beta(\text{Ker}(\beta) + \text{Ker}(g))$.
 Επιπροσθέτως, $\text{Ker}(\beta) \subseteq \text{Ker}(g' \circ \beta)$ (διότι $\forall m \in \text{Ker}(\beta) : g'(\beta(m)) = g'(0_M) = 0_{N''}$)
 και $\text{Ker}(\beta) \subseteq \text{Ker}(\beta) + \text{Ker}(g)$. Κατά συνέπεια,

$$\begin{aligned} \text{Ker.rat. (2)} &= \frac{\text{Ker}(g' \circ \beta)}{(\text{Ker}(\beta) + \text{Ker}(g))} \\ &\cong \frac{(\text{Ker}(g' \circ \beta) / \text{Ker}(\beta))}{((\text{Ker}(\beta) + \text{Ker}(g)) / \text{Ker}(\beta))} \quad (\text{Κατόπιν Εφαρμογής του 3ου ΘΙΜ 1.4.12}) \\ &\cong \frac{\beta(\text{Ker}(g' \circ \beta))}{\beta(\text{Ker}(\beta) + \text{Ker}(g))} \quad (\text{Κατόπιν Σημείας Εφαρμογής του 11ου ΘΙΜ 1.4.8}) \\ &\cong \frac{\text{Im}(f' \cap \text{Ker}(g'))}{\text{Im}(\beta \circ f)} = \text{Im.rat. (1)}. \quad \square \end{aligned}$$

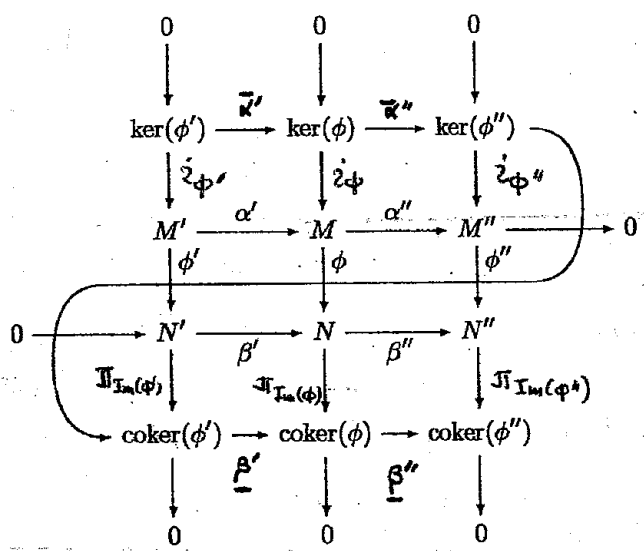
2.2.6. Σημείωση. Το "λήμμα των δύο τετραγώνων" ($\text{Im.rat. (1)} \cong \text{Ker.rat. (2)}$)
 είναι ακόμη και για διαγράμματα της μορφής



και στέφουν τα κατακόρυφα βέλη προς τα άνω, αρκεί οι λόγοι
 εικόνων και πυρήνων να ορισθούν καταλλήλως (όπως εξηγήθηκε
 στο 2.2.4.)

2.2.7. Το λήμμα τών φιδιών Έστω ότι οι M, M', M'' και N, N', N'' είναι δυο τριάδες R -μοδίων και ότι οι

$\phi: M \rightarrow N, \phi': M' \rightarrow N', \phi'': M'' \rightarrow N''$ είναι τρεις ομομορφισμοί R -μοδίων, τέτοιοι ώστε το διάγραμμα



να είναι μεταθετικό με τις μεσότητες γραμμής ακριβείς. (Εν προκειμένω, οι ομομορφισμοί $\bar{\alpha}', \bar{\alpha}'', \bar{\beta}', \bar{\beta}''$ είναι αυτοί που έχουν οριστεί μέσω των πορισμάτων 2.1.9 και 2.1.11.) Τότε υπάρχει ομομορφισμός R -μοδίων

$$\Delta: \text{Ker}(\phi'') \rightarrow \text{Coker}(\phi'),$$

ούτως ώστε η προκύπτουσα ακολουθία

$$\begin{array}{ccccc} \text{Ker}(\phi') & \xrightarrow{\bar{\alpha}'} & \text{Ker}(\phi) & \xrightarrow{\bar{\alpha}''} & \text{Ker}(\phi'') \\ & & & \searrow \Delta & \\ & & \text{Coker}(\phi') & \xrightarrow{\bar{\beta}'} & \text{Coker}(\phi) & \xrightarrow{\bar{\beta}''} & \text{Coker}(\phi'') \end{array}$$

να είναι ακριβής.

Απόδειξη. Αυτή θα γίνει σε πέντε βήματα. (Μόνο στα (i)-(iv) υπεισέρχεται "κινητικό διάγραμμα". Το (v) διεύθυνεται μέσω τών λημμάτων 2.2.5.)

(i) $\bar{\alpha}'' \circ \bar{\alpha}' = 0 \iff \text{Im}(\bar{\alpha}') \subseteq \text{Ker}(\bar{\alpha}'')$ | Έστω τυχόν $y \in \text{Im}(\bar{\alpha}' \circ \bar{\alpha}')$. Τότε $\exists x \in \text{Ker}(\phi'): \bar{\alpha}'' \circ \bar{\alpha}'(x) = y$. Όμως $\bar{z}_{\phi''}(y) \in M'' = \text{Im}(\alpha'')$

$$\Rightarrow \exists z \in M: \alpha''(z) = i_{\phi''}(y) = i_{\phi''}((\bar{\alpha}'' \circ \bar{\alpha}') (x)) \stackrel{\text{μεταβ. διαστ.}}{=} (\alpha'' \circ i_{\phi'} \circ \bar{\alpha}') (x)$$

$$\stackrel{\text{μεταβ. διαστ.}}{=} (\alpha'' \circ \underbrace{\alpha' \circ i_{\phi'}}_0) (x) = 0_{M''} \Rightarrow y \in \text{Ker}(i_{\phi''}) = \{0_{M''}\}$$

|| ← ακριβώς

Αρα άραως $\bar{\alpha}'' \circ \bar{\alpha}' = 0$.

(ii) $\text{Ker}(\bar{\alpha}'') \subseteq \text{Im}(\bar{\alpha}')$ Έστω $x \in \text{Ker}(\bar{\alpha}'')$. Τότε

$$i_{\phi''}(\bar{\alpha}''(x)) = 0_{M''} \Rightarrow (\alpha'' \circ i_{\phi'}) (x) = 0 \Rightarrow i_{\phi}(x) \in \text{Ker}(\alpha'')$$

|| ← ακριβώς

$$\Rightarrow \exists y \in M': i_{\phi}(x) = \alpha'(y) \Rightarrow \phi(\alpha'(y)) = \phi(i_{\phi}(x)) = 0_N \stackrel{\text{Im}(\alpha')}{=}$$

$$\Rightarrow \beta'(\phi'(y)) = 0_N \stackrel{\beta' \text{ ενριπτική}}{\Rightarrow} \phi'(y) = 0_{N'} \Rightarrow y \in \text{Ker}(\phi') = \text{Im}(i_{\phi'})$$

$$\Rightarrow \exists x' \in \text{Ker}(\phi'): y = i_{\phi'}(x') \Rightarrow \alpha'(y) = \alpha'(i_{\phi'}(x'))$$

$$\Rightarrow i_{\phi}(x) = \alpha'(y) \stackrel{\text{μεταβ. διαστ.}}{=} (i_{\phi} \circ \bar{\alpha}') (y) \stackrel{i_{\phi} \text{ ενριπτική}}{\Rightarrow} x = \bar{\alpha}'(y) \in \text{Im}(\bar{\alpha}')$$

(iii) $\underline{\beta}'' \circ \underline{\beta}' = 0 \Leftrightarrow \text{Im}(\underline{\beta}') \subseteq \text{Ker}(\underline{\beta}'')$ Έστω $x \in \text{CoKer}(\phi')$

Επειδή η $\pi_{\text{Im}(\phi')}$ είναι επιριπτική $\exists z \in N': \pi_{\text{Im}(\phi')}(z) = x$

Αρα $\underline{\beta}'' \circ \underline{\beta}'(x) = (\underline{\beta}'' \circ \underline{\beta}' \circ \pi_{\text{Im}(\phi')})(z) \stackrel{\text{μεταβ. διαστ.}}{=} (\underline{\beta}'' \circ \pi_{\text{Im}(\phi')} \circ \underline{\beta}')(z)$

$$= (\underbrace{\pi_{\text{Im}(\phi'')} \circ \beta'' \circ \beta'}_0)(z) = 0_{\text{CoKer}(\phi')}$$

|| ← ακριβώς

Αρα άραως $\underline{\beta}'' \circ \underline{\beta}' = 0$

(iv) $\text{Ker}(\underline{\beta}'') \subseteq \text{Im}(\underline{\beta}')$ Έστω τυχόν $x \in \text{Ker}(\underline{\beta}'')$

$$\Rightarrow \exists y \in N: \pi_{\text{Im}(\phi)}(y) = x$$

$\pi_{\text{Im}(\phi)}$ επιριπτική

$$\Rightarrow (\underline{\beta}'' \circ \pi_{\text{Im}(\phi)})(y) = 0 \Rightarrow (\pi_{\text{Im}(\phi'')} \circ \beta'')(y) = 0$$

$$\Rightarrow \beta''(y) \in \text{Ker}(\pi_{\text{Im}(\phi'')}) = \text{Im}(\phi'') \Rightarrow \exists \omega \in M'': \phi''(\omega) = \beta''(y)$$

|| ← ακριβώς

$$\Rightarrow \left. \begin{aligned} \exists \xi \in M: \omega = \alpha''(\xi) \\ \phi''(\alpha''(\xi)) = \beta''(y) \end{aligned} \right\} \begin{array}{l} \Rightarrow \\ \text{μεταβ.} \\ \text{σταθ.} \end{array} \Rightarrow \exists \xi \in M: \beta''(\phi(\xi)) = \beta''(y)$$

$$\Rightarrow \exists \xi \in M: y = \phi(\xi) \in \text{Ker}(\beta'') = \text{Im}(\beta') \Rightarrow \exists u \in N':$$

$$y = \phi(\xi) = \beta'(u) \xrightarrow{\text{ακρίβεια}} \pi_{\text{Im}(\phi)}(y) = \pi_{\text{Im}(\phi)}(\phi(\xi)) = \pi_{\text{Im}(\phi)}(y) \quad \parallel \text{μεταβ. σταθ.}$$

$$\quad \quad \quad \quad \quad \quad \quad \quad \quad \quad \quad \quad \quad \quad \quad \quad \quad \quad \quad \quad \quad \quad \quad \quad \quad \quad \parallel \text{μεταβ. σταθ.}$$

$$\quad \quad \quad \quad \quad \quad \quad \quad \quad \quad \quad \quad \quad \quad \quad \quad \quad \quad \quad \quad \quad \quad \quad \quad \quad \quad \parallel \text{μεταβ. σταθ.}$$

$$\Rightarrow \left\{ \begin{array}{l} \exists u \in N' \\ \mu \in \pi_{\text{Im}(\phi)}^{-1}(u) \in N'' \text{ και } \beta'(\mu) = \pi_{\text{Im}(\phi)}(y) = x \end{array} \right.$$

Άρα άνω $\text{Ker}(\beta'') \subseteq \text{Im}(\beta')$.

(γ) Για την απόδειξη της υπάρξεως του Δ αρκεί να αποδειχθεί ότι ισχύει

$$\boxed{\text{Coker}(\alpha'') \cong \text{Ker}(\beta')} \quad (*)$$

Πράγματι σε αυτήν την περίπτωση θεωρούμε $\Delta := \iota \circ \pi$, όπου

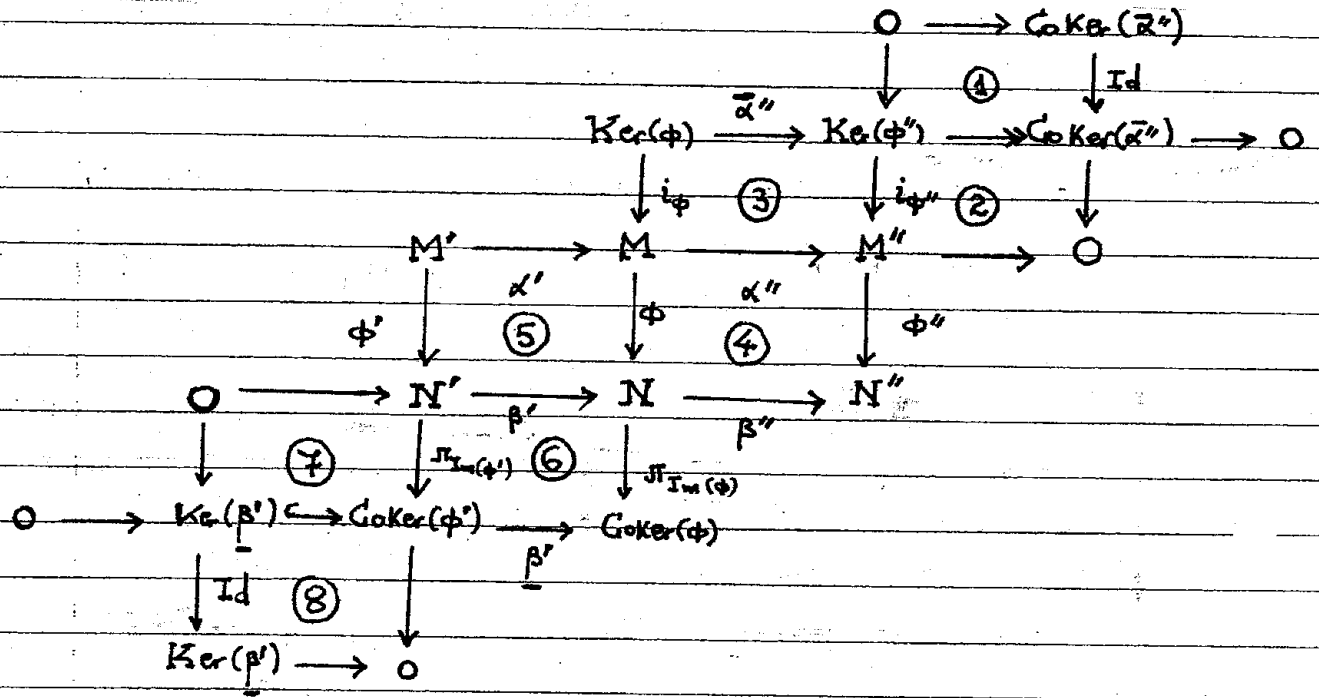
$$\begin{array}{ccccc} \text{Ker}(\phi) & \xrightarrow{\alpha''} & \text{Ker}(\phi'') & \xrightarrow{\Delta} & \text{Coker}(\phi') & \xrightarrow{\beta'} & \text{Coker}(\phi) \\ & & \searrow \pi = \pi_{\text{Im}(\alpha'')} & & \nearrow \iota \text{ (ένθεση)} & & \\ & & & & \text{Coker}(\alpha'') \cong \text{Ker}(\beta') & & \end{array}$$

$$\mu \in \text{Im}(\Delta) = \iota(\pi(\text{Ker}(\phi''))) = \text{Ker}(\phi'') / \text{Im}(\alpha'') = \text{Coker}(\alpha'') = \text{Ker}(\beta')$$

$$\text{και } \text{Ker}(\Delta) = \text{Ker}(\iota \circ \pi) = \{x \in \text{Ker}(\phi'') \mid \pi(x) \in \text{Ker}(\iota)\} = \text{Im}(\alpha'')$$

\parallel
 $\text{Coker}(\alpha'')$

Για την απόδειξη του ισομορφισμού (*) θεωρούμε το ακόλουθο μεταθετικό διάγραμμα R-μοδίων και ομομορφισμών R-μοδίων με ακριβείς γραμμές και ακριβείς στήλες:

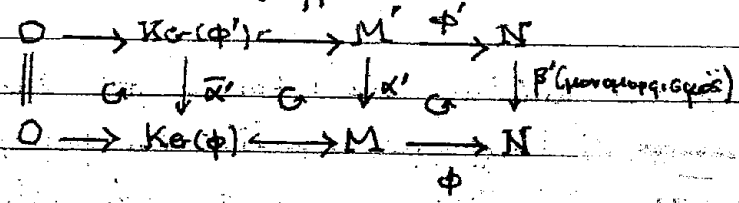


Εκ κατασκευής, $\text{Coker}(\bar{\alpha}'') = \text{Im. rat}(\textcircled{4})$. Από τα 2.2.5 και 2.2.6

έχουμε

$$\begin{aligned}
 \text{Im. rat}(\textcircled{4}) &\cong \text{Ker. rat}(\textcircled{2}) \\
 &\cong \text{Im. rat}(\textcircled{3}) \\
 &\cong \text{Ker. rat}(\textcircled{4}) \\
 &\cong \text{Im. rat}(\textcircled{5}) \\
 &\cong \text{Ker. rat}(\textcircled{6}) \\
 &\cong \text{Im. rat}(\textcircled{7}) \\
 &\cong \text{Ker. rat}(\textcircled{8}) \stackrel{\text{(εκ κατασκευής)}}{=} \text{Ker}(\beta') \Rightarrow n(\beta') \\
 &\hspace{15em} \text{ισχύει. } \square
 \end{aligned}$$

2.2.8 Παρατήρηση (1) Εάν ο α' είναι μονομορφισμός, τότε και ο α'' θα είναι μονομορφισμός. Το ίδιο έγκειται από την εφαρμογή των λημμάτων των προηγούμενων (2.2.4) στο διάγραμμα



(Και αντιστοίχως, εάν ο α' είναι επιμορφισμός, τότε και ο α'' είναι επιμορφισμός.)

(ii) Εάν ο β'' είναι επιμορφισμός, τότε και ο β' είναι επιμορφισμός.
 (Και αντιστρόφως, εάν ο β' είναι μονομορφισμός, τότε και ο β'' είναι μονομορφισμός.)

Τούτο έπεται από την εφαρμογή του λήμματος των τεσσάρων (2.2.1) στο διάγραμμα

$$\begin{array}{ccccccc}
 M & \xrightarrow{\phi} & N & \xrightarrow{\text{CoKer}(\phi)} & 0 \\
 \alpha'' \downarrow & \cong & \downarrow \beta'' & \cong & \downarrow \beta'' & \cong & \parallel \\
 (\text{επιμορφισμός}) & & M'' & \xrightarrow{\phi''} & N'' & \xrightarrow{\text{CoKer}(\phi'')} & 0
 \end{array}$$

(iii) Εάν ο ϕ' είναι επιμορφισμός, τότε προκύπτει η ακριβής ακολουθία

$$\text{Ker}(\phi') \xrightarrow{\bar{\alpha}'} \text{CoKer}(\phi) \xrightarrow{\bar{\alpha}''} \text{Ker}(\phi'') \rightarrow 0$$

(iv) Εάν ο ϕ'' είναι μονομορφισμός, τότε προκύπτει η ακριβής ακολουθία

$$0 \rightarrow \text{CoKer}(\phi'') \xrightarrow{\beta'} \text{CoKer}(\phi) \xrightarrow{\beta''} \text{CoKer}(\phi') \rightarrow 0 \quad \square$$

Θα κλείσουμε την παρούσα ενότητα με την απόδειξη ενός σημαντικού λήμματος, το οποίο (σε συνδυασμό με το λήμμα του εξαγώνου, βλ. ασκήσεις 22 και 23 τού 4^{ου} φυλλαδίου) οδηγεί στην απόδειξη της υπάρξεως μιας χαρακτηριστικής ακριβούς ακολουθίας, παρέχοντάς μας την αλγεβρική εκδοχή της λεγομένης ακριβούς ακολουθίας των Mayer και Vietoris που συναντούμε στην Αλγεβρική Τοπολογία.

[Για την πρωτότυπη δημοσίευσή του, βλ. το άρθρο των M.G. Barratt και J.H.C Whitehead: *The first non-vanishing group of an (n+1)-ad*, Proc. of London Math. Soc., Vol. 6, 1956, 417-439.]

2.2.9 Λήμμα των Barratt και Whitehead. Για οιοδήποτε μεταθετικό διάγραμμα R-μοδίων και ομομορφισμών R-μοδίων της μορφής

$$\begin{array}{ccccccccccc}
 \dots & \xrightarrow{h_{n+1}} & A_n & \xrightarrow{f_n} & B_n & \xrightarrow{g_n} & C_n & \xrightarrow{h_n} & A_{n-1} & \xrightarrow{f_{n-1}} & B_{n-1} & \rightarrow \dots \\
 & & \alpha_n \downarrow & \cong & \downarrow \beta_n & \cong & \downarrow \gamma_n & \cong & \downarrow \alpha_{n-1} & \cong & \downarrow \beta_{n-1} & \\
 \dots & \xrightarrow{h'_{n+1}} & A'_n & \xrightarrow{f'_n} & B'_n & \xrightarrow{g'_n} & C'_n & \xrightarrow{h'_n} & A'_{n-1} & \xrightarrow{f'_{n-1}} & B'_{n-1} & \rightarrow \dots
 \end{array}$$

με αμφότερες τις γραμμές του ακριβείς και των γ_n ισομορφισμούς, $\forall n \in \mathbb{Z}$,

υφίσταται μια ακριβής ακολουθία

$$\dots \xrightarrow{\Delta_{n+1}} A_n \xrightarrow{\psi_n} A'_n \oplus B_n \xrightarrow{\varphi_n} B'_n \xrightarrow{\Delta_n} A_{n-1} \xrightarrow{\psi_{n-1}} \dots$$

όπου

$$\left\{ \begin{array}{l} A_n \ni x \mapsto \psi_n(x) := (\alpha_n(x), f_n(x)) \in A'_n \oplus B_n, \\ A'_n \oplus B_n \ni (x, y) \mapsto \varphi_n(x, y) := -\beta_n(y) + f'_n(x) \in B'_n, \\ \Delta_n := h_n \circ \gamma_n^{-1} \circ g'_n, \quad \forall n \in \mathbb{Z}. \end{array} \right.$$

Απόδειξη: Σίε έξι βήματα, μέσω κινηχται διαγράμματος.

(i) $\psi_n \circ \Delta_{n+1} = 0$ Προφανώς, $f_n \circ \Delta_{n+1} = f_n \circ h_{n+1} \circ \gamma_{n+1}^{-1} \circ g'_{n+1} = 0$
ακριβεία $\rightarrow 0$

και $\alpha_n \circ \Delta_{n+1} = \alpha_n \circ h_{n+1} \circ \gamma_{n+1}^{-1} \circ g'_{n+1}$
 \uparrow μεταβ. διαγρ. \uparrow Id \uparrow ακριβεία
 $= h'_{n+1} \circ \gamma_{n+1} \circ \gamma_{n+1}^{-1} \circ g'_{n+1} = h'_{n+1} \circ g'_{n+1} = 0$. Άρα $\psi_n \circ \Delta_{n+1} = 0$.

(ii) $\text{Ker}(\psi_n) \subseteq \text{Im}(\Delta_{n+1})$ Εάν $x \in \text{Ker}(\psi_n)$, τότε $x \in \text{Ker}(\alpha_n) \cap \text{Ker}(f_n)$.

Επειδή $\text{Ker}(f_n) = \text{Im}(h_{n+1})$, υπάρχει κάποιο $z \in G_{n+1}$: $x = h_{n+1}(z)$
 Επειδή ο γ_{n+1}^{-1} είναι επιμορφισμός, υπάρχει κάποιο $z' \in G'_{n+1}$: $z = \gamma_{n+1}^{-1}(z')$ } \Rightarrow

$$\begin{aligned} 0 &= \alpha_n(x) = \alpha_n(h_{n+1}(\gamma_{n+1}^{-1}(z'))) = (\alpha_n \circ h_{n+1} \circ \gamma_{n+1}^{-1})(z') \stackrel{\text{μεταβ. διαγρ.}}{=} (h'_{n+1} \circ \gamma_{n+1} \circ \gamma_{n+1}^{-1})(z') \\ &= h'_{n+1}(z') \Rightarrow z' \in \text{Ker}(h'_{n+1}) \stackrel{\text{ακριβεία}}{=} \text{Im}(g'_{n+1}), \text{ οπότε υπάρχει κάποιο } w \in B'_{n+1}: \\ z' &= g'_{n+1}(w). \text{ Κατά συνέπεια, } x = (h_{n+1} \circ \gamma_{n+1}^{-1} \circ g'_{n+1})(w) = \Delta_{n+1}(w) \in \text{Im}(\Delta_{n+1}). \end{aligned}$$

(iii) $\varphi_n \circ \psi_n = 0$ Για κάθε $x \in A_n$ έχουμε:

$$\begin{aligned} \varphi_n(\psi_n(x)) &= \varphi_n(\alpha_n(x), f_n(x)) = -\beta_n(f_n(x)) + f'_n(\alpha_n(x)) \\ &= (f'_n \circ \alpha_n - \beta_n \circ f_n)(x) = 0. \text{ Άρα } \varphi_n \circ \psi_n = 0. \end{aligned}$$

= 0 λόγω ακριβείας

(iv) $\text{Ker}(\varphi_n) \subseteq \text{Im}(\psi_n)$ Έστω τυχόν στοιχείο $(x, y) \in \text{Ker}(\varphi_n)$.

Τότε $\varphi'_n(x) = \beta_n(y) \Rightarrow 0_{C_n} \underset{\text{ακρίβεια}}{=} g'_n(\varphi'_n(x)) = g'_n(\beta_n(y)) \underset{\substack{\text{μεταβ.} \\ \text{διαφ.}}}{=} \gamma'_n(g_n(y)) \Rightarrow \gamma'_n(g_n(y)) = 0_{C_n}$ $\left. \begin{array}{l} \text{στη μονομορφισμός} \end{array} \right\} \Rightarrow$

$g_n(y) = 0_{C_n} \Rightarrow y \in \text{Ker}(g_n) \underset{\text{ακρίβεια}}{=} \text{Im}(f_n)$, οπότε $\exists z \in A_n: y = f_n(z)$.
Αυτό σημαίνει ότι

$\varphi'_n(x) = \beta_n(y) = \beta_n(f_n(z)) \underset{\substack{\text{μεταβ.} \\ \text{διαφ.}}}{=} \varphi'_n(\alpha_n(z)) \Rightarrow x - \alpha_n(z) \in \text{Ker}(\varphi'_n) \underset{\text{ακρίβεια}}{=} \text{Im}(h_{n+1})$.

Επομένως, $\exists w \in C_{n+1}: x - \alpha_n(z) = h_{n+1}(w)$
Επιπρόσθετως, ο γ_{n+1} είναι επιμορφισμός, οπότε $\exists u \in C_{n+1}: w = \gamma_{n+1}(u)$
 $\left. \begin{array}{l} \text{ακρίβεια} \\ \text{μεταθετικότητα} \\ \text{διαγράμματος} \end{array} \right\} \Rightarrow x = \alpha_n(z + h_{n+1}(u))$ (1)

Από την άλη μεριά, επειδή $f_n \circ h_{n+1} = 0$, μπορούμε να γράψουμε το y ως $y = f_n(z) = f_n(z + h_{n+1}(u))$ (2). Από τις (1) και (2) έπεται ότι $(x, y) \in \text{Im}(\psi_n)$.

(v) $\Delta_n \circ \varphi_n = 0$ Για κάθε $(x, y) \in A_n \oplus B_n$ έχουμε
 $\Delta_n(\varphi_n(x, y)) = \Delta_n(f_n(x) - \beta_n(y)) \underset{\Delta_n \text{ ομο.}}{=} \Delta_n(f_n(x)) - \Delta_n(\beta_n(y))$

$= (h_n \circ \gamma_n^{-1} \circ g'_n \circ f'_n)(x) - (h_n \circ \gamma_n^{-1} \circ g'_n \circ \beta_n)(y) = - (h_n \circ g_n)(y) = 0_{A_{n-1}}$
ακρίβεια $\rightarrow \parallel$ $\xrightarrow{\substack{\text{μεταθετικότητα} \\ \text{διαγράμματος}}} \parallel$ $\xrightarrow{\gamma_n^{-1} \circ g_n}$ \parallel $\xrightarrow{\text{ακρίβεια}} \parallel$ $\rightarrow 0$

(vi) $\text{Ker}(\Delta_n) \subseteq \text{Im}(\varphi_n)$ Έστω τυχόν $x \in \text{Ker}(\Delta_n)$. Τότε έχουμε

$h_n(\gamma_n^{-1}(g'_n(x))) = 0_{A_{n-1}} \Rightarrow \gamma_n^{-1}(g'_n(x)) \in \text{Ker}(h_n) \underset{\text{ακρίβεια}}{=} \text{Im}(g_n)$, οπότε $\exists y \in B_n:$

$\gamma_n^{-1}(g'_n(x)) = g_n(y) \implies g'_n(x) = (\gamma_n \circ g_n)(y) \underset{\substack{\text{μεταθετικότητα} \\ \text{διαγράμματος}}}{=} (g'_n \circ \beta_n)(y)$

$\implies x - \beta_n(y) \in \text{Ker}(g'_n) \underset{\text{ακρίβεια}}{=} \text{Im}(f'_n)$, οπότε $\exists w \in A_n: x - \beta_n(y) = f'_n(w)$,
οπότε έπεται ότι $x = \beta_n(y) + f'_n(w) = -\beta_n(-y) + f'_n(w) \in \text{Im}(\varphi_n)$. \square

§ 2.3 Αλυσωτά και συναλυσωτά συμπλόκα
και μόνιοι ομολογίας και συνομολογίας

Έστω $\dots \xrightarrow{d_{n+2}} M_{n+2} \xrightarrow{d_{n+1}} M_n \xrightarrow{d_n} M_{n-1} \xrightarrow{d_{n-2}} \dots$ (*)
 μια ακολουθία R -μοδίων και ομομορφισμών R -μοδίων με κατιόν
 σύνολο δεικτών. Ως γνωστόν (βλ. 2.1.1, 2.1.2 (ii), (iii)), η (*)
 είναι ακριβής $\Leftrightarrow d_n \circ d_{n+1} = 0$ και $\text{Ker}(d_n) \subseteq \text{Im}(d_{n+1})$, $\forall n \in \mathbb{Z}$.
 Η έννοια του "αλυσωτού συμπλόκου" γενικεύει την έννοια της
 ακριβούς ακολουθίας ως εξής:

2.3.1 Ορισμός Μια ακολουθία R -μοδίων και ομομορφισμών
 R -μοδίων της μορφής (*) καλείται αλυσωτό συμπλόκο
 (ή πριμακρίβη ακολουθία με κατιόν σύνολο δεικτών) όταν
 $d_n \circ d_{n+1} = 0$, $\forall n \in \mathbb{Z}$. Συνομομορφισμοί για την (*): $M_n := (M_n, d_n)_{n \in \mathbb{Z}}$
 Οι ομομορφισμοί $d_n := d_n$, $n \in \mathbb{Z}$, καλούνται επίσης εναρδιακοί τελεστές
 ή διαφορικά του αλυσωτού συμπλόκου M . (που είναι όροι κληρονομη-
 θέντες από την κλασική Σινδωνασακή Τοπολογία).

2.3.2 Ορισμός Έστω $M = (M_n, d_n)_{n \in \mathbb{Z}}$ ένα αλυσωτό συμπλόκο
 της μορφής (*). Θέτουμε
$$\begin{cases} B_n(M) := \text{Im}(d_{n+1}) \\ Z_n(M) := \text{Ker}(d_n) \end{cases}, \forall n \in \mathbb{Z}.$$

 Προφανώς, αμφότεροι οι $B_n(M)$, $Z_n(M)$ είναι υπομόδια του
 R -μοδίου M_n και $B_n(M) \subseteq Z_n(M)$. Τα στοιχεία
 του $B_n(M)$ καλούνται n -οστά σύνολα και τα στοιχεία
 του $Z_n(M)$ n -οστά κυκλήματα του αλυσωτού συμπλόκου M .
 (Πρόκειται και πάλι για "παραδοσιακή" ορολογία τοπολογικής προέλευσης.)
 Ο πηλικομόδιος

$$H_n(M) := Z_n(M) / B_n(M)$$

καλείται n -οστός μόνιος ομολογίας του αλυσωτού συμπλόκου M .

2.3.3 Σημείωση Προφανώς, $H_n(M) = 0$ $Z_n(M) / B_n(M) = B_n(M)$, $\forall n \in \mathbb{Z}$,
 εάν και μόνον εάν η (*) είναι ακριβής. Ως εκ τούτου, οι μόνιοι ομολογίας
 ενός αλυσωτού συμπλόκου εκφράζουν το πόσο "απέχει" αυτό από το να είναι
 μια ακριβής ακολουθία.

2.3.4. Παράδειγμα Έστω K ένα σώμα και έστω $K^\infty := K^{\mathbb{N}}$ το αριθμησιμώς άπειρο γινόμενο ανεπιτότων τού K (= σύνολο των ακολουθιών στοιχείων τού K με νόμο άδεικνών τους τους θετικούς ακέραιους). Για κάθε $n \in \mathbb{N}$ μπορούμε να ταυτίσουμε το $K^n := \underbrace{K \times \dots \times K}_n$ με τον υπόχωρο τού K^∞
 "γόρες"

των: αποδείχθηκε από τις ερωτήσεις που έχουν τις j -οστές όρους τους ίσους με το 0_K , για κάθε $j \in \mathbb{N}, j \geq n+1$. Θεωρούμε τα διανύσματα

$$\begin{cases} e_1 := (1_K, 0_K, \dots, 0_K, 0_K, \dots) \\ e_2 := (0_K, 1_K, \dots, 0_K, 0_K, \dots) \\ \dots \\ e_j := (0_K, 0_K, \dots, \underset{\substack{\uparrow \\ j\text{-οστή θέση}}}{1_K}, 0_K, 0_K, \dots) \\ \dots \end{cases}$$

και (για σταθμισμένα $n \in \mathbb{Z}$) τους ομομορφισμούς K -διανυσματικών χώρων $d_n: K^n \rightarrow K^{n-1}$

τους οριζόμενους μέσω τού τύπου $d_n(e_j) := \begin{cases} 0_K, & \forall j \in \{1, \dots, n-1\}, \\ e_1, & \text{όταν } j = n, \end{cases}$

(επί της βάσης $\{e_1, \dots, e_n\}$ τού K^n) και γραμμικής επέκτασως (βλ. 1.6.14), όταν $n \in \mathbb{Z}, n \geq 2$, και $d_n := 0$ (μηδενικός ομομορφισμός) όταν $n \in \mathbb{Z}, n \leq 1$. Κατ' αυτόν τον τρόπο σχηματίζεται ένα αλυσωτό σύμπλοκο $(K^n, d_n)_{n \in \mathbb{Z}}$ [όπου $K^n := \{0_K\}, \forall n \in \mathbb{Z}, n \leq 0$].

$$\dots \rightarrow K^{n+1} \xrightarrow{d_{n+1}} K^n \xrightarrow{d_n} K^{n-1} \xrightarrow{d_{n-1}} \dots \xrightarrow{d_3} K^2 \xrightarrow{d_2} K \xrightarrow{d_1} 0_K \rightarrow 0_K \rightarrow \dots$$

με $Z_n((K^n, d_n)_{n \in \mathbb{Z}}) = \text{Ker}(d_n) = \begin{cases} \text{Lin}\{e_1, e_2, \dots, e_{n-1}\}, & \text{όταν } n \in \mathbb{Z}, n \geq 2, \\ K, & \text{όταν } n = 1, \\ \{0_K\}, & \text{όταν } n \in \mathbb{Z}, n \leq 0, \end{cases}$

και $B_n((K^n, d_n)_{n \in \mathbb{Z}}) = \text{Im}(d_{n+1}) = \begin{cases} \text{Lin}\{e_1\}, & \text{όταν } n \in \mathbb{Z}, n \geq 1, \\ \{0_K\}, & \text{όταν } n \in \mathbb{Z}, n \leq 0. \end{cases}$

Προφανώς, $H_n((K^n, d_n)_{n \in \mathbb{Z}}) \cong \begin{cases} K^{n-2}, & \text{όταν } n \in \mathbb{Z}, n \geq 3 \\ \{0_K\}, & \text{όταν } n \in \mathbb{Z}, n \leq 2. \end{cases}$

2.3.5. Ορισμός Έστω ότι τα

$$M_\bullet = (M_n, d_n)_{n \in \mathbb{Z}} : \dots \rightarrow M_{n+1} \xrightarrow{d_{n+1}} M_n \xrightarrow{d_n} M_{n-1} \rightarrow \dots$$

$$M'_\bullet = (M'_n, d'_n)_{n \in \mathbb{Z}} : \dots \rightarrow M'_{n+1} \xrightarrow{d'_{n+1}} M'_n \xrightarrow{d'_n} M'_{n-1} \rightarrow \dots$$

είναι δύο αλυσωτά σύνπλοκα. Μια απεικόνιση $f_\bullet : M_\bullet \rightarrow M'_\bullet$ είναι μια ακολουθία απεικονίσεων $(f_n : M_n \rightarrow M'_n)_{n \in \mathbb{Z}}$ (Κατ' αναλογία ορίζουμε τη σύνθεση $(g \circ f)_\bullet : M_\bullet \rightarrow M''_\bullet$ δύο απεικονίσεων αλυσωτών σύνπλοκων $f_\bullet : M_\bullet \rightarrow M'_\bullet$ και $g_\bullet : M'_\bullet \rightarrow M''_\bullet$ ως την οικογένεια $(g_n \circ f_n : M_n \rightarrow M''_n)_{n \in \mathbb{Z}}$.)
 Μια απεικόνιση αλυσωτών σύνπλοκων $f_\bullet : M_\bullet \rightarrow M'_\bullet$ καλείται αλυσωτός μετασχηματισμός όταν για κάθε $n \in \mathbb{Z}$, η $f_n : M_n \rightarrow M'_n$ είναι ομομορφισμός R -μοδίων και (ταυτοχρόνως) το διάγραμμα

$$\begin{array}{ccc} M_n & \xrightarrow{d_n} & M_{n-1} \\ f_n \downarrow & \circlearrowleft & \downarrow f_{n-1} \\ M'_n & \xrightarrow{d'_n} & M'_{n-1} \end{array} \text{ είναι μεταθετικό.}$$

2.3.6. Πρόταση. Για κάθε αλυσωτό μετασχηματισμό $f_\bullet : M_\bullet \rightarrow M'_\bullet$ ισχύει $f_n(Z_n(M_\bullet)) \subseteq Z_n(M'_\bullet)$ και $f_n(B_n(M_\bullet)) \subseteq B_n(M'_\bullet)$, $\forall n \in \mathbb{Z}$.

Ως εκ τούτου, ορίζεται ένας μονοσήμαντος ορισμένος ομομορφισμός

$$H_n(f_\bullet) : H_n(M_\bullet) \rightarrow H_n(M'_\bullet),$$

ούτως ώστε $\pi_{B_n(M'_\bullet)} \circ (f_n|_{Z_n(M_\bullet)}) = H_n(f_\bullet) \circ \pi_{Z_n(M_\bullet)}$.

Απόδειξη. Εξ ορισμού το διάγραμμα

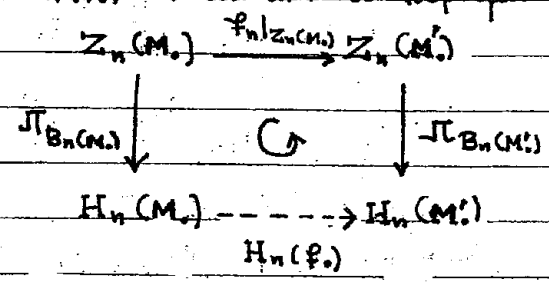
$$\begin{array}{ccccc} M_{n+1} & \xrightarrow{d_{n+1}} & M_n & \xrightarrow{d_n} & M_{n-1} \\ f_{n+1} \downarrow & \circlearrowleft & \downarrow f_n & \circlearrowleft & \downarrow f_{n-1} \\ M'_{n+1} & \xrightarrow{d'_{n+1}} & M'_n & \xrightarrow{d'_n} & M'_{n-1} \end{array}$$

είναι μεταθετικό και $d_n \circ d_{n+1} = 0$, $d'_n \circ d'_{n+1} = 0$, $\forall n \in \mathbb{Z}$.

Έστω $x \in Z_n(M_\bullet) = \text{Ker}(d_n)$. Τότε $d_n(x) = 0_{M_{n-1}} \Rightarrow d'_n(f_n(x)) = f_{n-1}(d_n(x)) = 0_{M'_{n-1}} \Rightarrow f_n(x) \in \text{Ker}(d'_n) =: Z_n(M'_\bullet)$. Άρα $f_n(Z_n(M_\bullet)) \subseteq Z_n(M'_\bullet)$.

Έστω $y \in \text{Im}(d_{n+1}) =: B_n(M_\bullet)$. Τότε υπάρχει κάποιο $z \in M_{n+1}$ με $y = d_{n+1}(z)$, οπότε $f_n(y) = f_n(d_{n+1}(z)) = d'_{n+1}(f_{n+1}(z)) \in \text{Im}(d'_{n+1}) =: B_n(M'_\bullet)$.

Η ύπαρξη των $H_n(f_*)$ έπεται από το πρόβλημα 1.4.5:

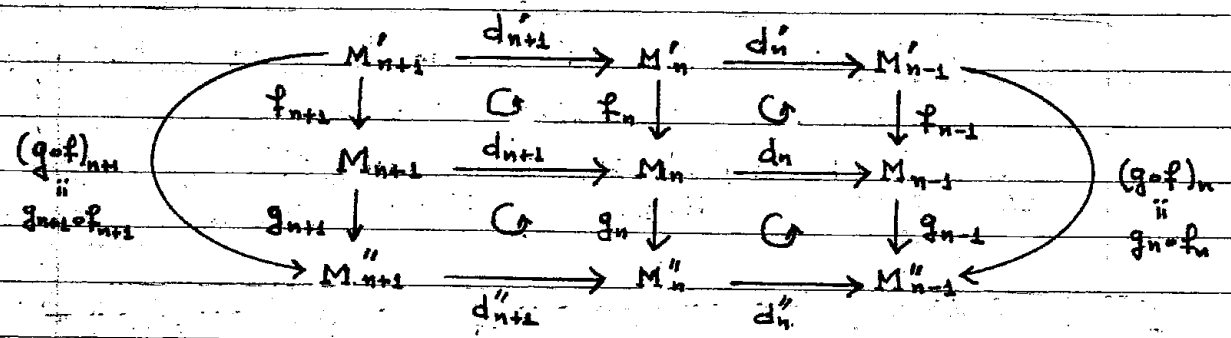


(Μάλιστα ο $H_n(f_*)$ ορίζεται από τον τύπο $H_n(f_*)(x + B_n(M_0)) := f_n(x) + B_n(M'_0)$) □

2.3.7. Πρόταση. Εάν οι $f_*: M'_* \rightarrow M_*$, $g_*: M_* \rightarrow M''_*$ είναι αλυσωτοί μετασχηματισμοί αλυσωτών συμπλεγμάτων (όπου $M_* = (M_n, d_n)_{n \in \mathbb{Z}}$, $M'_* = (M'_n, d'_n)_{n \in \mathbb{Z}}$ και $M''_* = (M''_n, d''_n)_{n \in \mathbb{Z}}$), τότε

$$H_n((g \circ f)_*) = H_n(g_*) \circ H_n(f_*), \forall n \in \mathbb{Z}$$

Απόδειξη. Από το μετασχηματικό διάγραμμα



έπεται ότι $\forall x + B_n(M'_n) \in H_n(M'_n)$:

$$\begin{aligned}
 H_n((g \circ f)_*)(x + B_n(M'_n)) &= (g_n \circ f_n)(x) + B_n(M''_n) \\
 &= H_n(g_*)(f_n(x) + B_n(M_n)) \\
 &= (H_n(g_*) \circ H_n(f_*))(x + B_n(M'_n)). \quad \square
 \end{aligned}$$

2.3.8. Πρόταση. Έστω $M_* = (M_n, d_n)_{n \in \mathbb{Z}}$ ένα αλυσωτό σύμπλεγμα και έστω $Id_*: M_* \rightarrow M_*$ ο ταυτοτικός αλυσωτός μετασχηματισμός $Id_* = (Id_n: M_n \rightarrow M_n)_{n \in \mathbb{Z}}$. Τότε

$$H_n(Id_*) = Id_{H_n(M_*)}, \forall n \in \mathbb{Z}$$

Απόδειξη. Από το μεταθετικό διάγραμμα

$$\begin{array}{ccccccc}
 M_{n+1} & \xrightarrow{d_{n+1}} & M_n & \xrightarrow{d_n} & M_{n-1} & & \\
 \text{Id}_{M_{n+1}} \downarrow & \circlearrowleft & \text{Id}_{M_n} \downarrow & \circlearrowleft & \downarrow & \text{Id}_{M_{n-1}} & \\
 M_{n+1} & \xrightarrow{d_{n+1}} & M_n & \xrightarrow{d_n} & M_{n-1} & &
 \end{array}$$

λαμβάνουμε $\forall x + B_n(M_n) \in H_n(M_n)$:

$$H_n(\text{Id}_n)(x + B_n(M_n)) = x + B_n(M_n) = \text{Id}_{H_n(M_n)}(x + B_n(M_n)),$$

οπότε πράγματι: $H_n(\text{Id}_n) = \text{Id}_{H_n(M_n)}, \forall n \in \mathbb{Z}$. \square

2.3.9 Ορισμός. Μια ακολουθία αλυσωτών συμπλέκων και αλυσωτών

μετασχηματισμών της μορφής $0 \rightarrow M'_n \xrightarrow{f_n} M_n \xrightarrow{g_n} M''_n \rightarrow 0$

(όπου εδώ τα "0" παριστά ένα αλγεβρικό σύμπλοκο αναφερόμενο πάντα από τρισημμένους

R-μοδίους και τρισημμένους αναφερόμενους) καλείται βραχεία ακριβής ακολουθία

αλυσωτών συμπλέκων όταν η $0 \rightarrow M'_n \xrightarrow{f_n} M_n \xrightarrow{g_n} M''_n \rightarrow 0$

είναι βραχεία ακριβής ακολουθία (υπό την έννοια του 2.1.2 (iv)) για κάθε $n \in \mathbb{Z}$.

2.3.10 Λήμμα. Έστω $0 \rightarrow M'_n \xrightarrow{f_n} M_n \xrightarrow{g_n} M''_n \rightarrow 0$ μια βραχεία ακριβής ακολουθία αλυσωτών συμπλέκων. Τότε η

$$\begin{array}{ccccc}
 H_n(M'_n) & \longrightarrow & H_n(M_n) & \longrightarrow & H_n(M''_n) \\
 H_n(f_n) & & & & H_n(g_n)
 \end{array}$$

είναι ακριβής, $\forall n \in \mathbb{Z}$.

Απόδειξη. Εάν $M_n = (M_n, d_n)_{n \in \mathbb{Z}}, M'_n = (M'_n, d'_n)_{n \in \mathbb{Z}}, M''_n = (M''_n, d''_n)_{n \in \mathbb{Z}}$,

θεωρούμε το μεταθετικό διάγραμμα:

$$\begin{array}{ccccccc}
 & & 0 & & 0 & & 0 \\
 & & \downarrow & & \downarrow & & \downarrow \\
 \dots & \longrightarrow & M'_{n+1} & \xrightarrow{d'_{n+1}} & M'_n & \xrightarrow{d'_n} & M'_{n-1} & \longrightarrow \dots \\
 & & \downarrow p_{n+1} & \circlearrowleft & \downarrow p_n & \circlearrowleft & \downarrow p_{n-1} & \\
 \dots & \longrightarrow & M_{n+1} & \xrightarrow{d_{n+1}} & M_n & \xrightarrow{d_n} & M_{n-1} & \longrightarrow \dots \\
 & & \downarrow q_{n+1} & \circlearrowleft & \downarrow q_n & \circlearrowleft & \downarrow q_{n-1} & \\
 \dots & \longrightarrow & M''_{n+1} & \xrightarrow{d''_{n+1}} & M''_n & \xrightarrow{d''_n} & M''_{n-1} & \longrightarrow \dots \\
 & & \downarrow & & \downarrow & & \downarrow & \\
 & & 0 & & 0 & & 0 &
 \end{array}$$

(i) $H_n(g_n) \circ H_n(f_n) = 0$ Για κάθε $x + B_n(M'_n) \in H_n(M'_n)$ ($x \in Z_n(M_n)$)
 έχουμε $(H_n(g_n) \circ H_n(f_n))(x + B_n(M'_n)) \stackrel{2.3.7}{=} H_n((g_n \circ f_n))(x + B_n(M'_n))$
 $= (g_n \circ f_n)(x) + B_n(M''_n) = B_n(M''_n) = 0_{H_n(M''_n)}$
 $\underbrace{\quad}_{\substack{\parallel \\ \leftarrow \text{ακρίβεια} \\ 0}}$

(ii) $\text{Ker}(H_n(g_n)) \subseteq \text{Im}(H_n(f_n))$ Έστω τυχόν $y + B_n(M_n) \in \text{Ker}(H_n(g_n))$
 ($y \in Z_n(M_n)$). Τότε έχουμε

$H_n(g_n)(y + B_n(M_n)) \in B_n(M''_n) \Rightarrow g_n(y) \in B_n(M''_n) = \text{Im}(d_{n+1}'')$, οπότε
 υπάρχει κάποιος $z \in M''_{n+1}$: $g_n(y) = d_{n+1}''(z)$
 g_{n+1} σπειρομορφικός $\Rightarrow \exists w \in M''_{n+1}$: $g_{n+1}(w) = z$ } $\Rightarrow (d_{n+1}'' \circ g_{n+1})(w) = g_n(y)$
μεταθετικότητα διαγράμματος $\Rightarrow g_n \circ d_{n+1}''$
 $\Rightarrow y - d_{n+1}(w) \in \text{Ker}(g_n) \stackrel{\text{ακρίβεια}}{=} \text{Im}(f_n)$, δηλ. $\exists x \in M'_n$: $f_n(x) = y - d_{n+1}(w)$
 $\Rightarrow f_n(x) + B_n(M_n) = (y - d_{n+1}(w)) + B_n(M_n) = y + B_n(M_n)$
 $\underbrace{\quad}_{B_n(M_n)}$

Αυτό σημαίνει ότι $y + B_n(M_n) = H_n(f_n)(x + B_n(M'_n)) \in \text{Im}(H_n(f_n))$. □

2.3.11. Θεώρημα: Έστω $0 \rightarrow M'_n \xrightarrow{f_n} M_n \xrightarrow{g_n} M''_n \rightarrow 0$ (*)

μια βραχεία ακρίβης ακολουθία ελυσωτών συμπλάκων. Τότε για κάθε $n \in \mathbb{Z}$ η απεικόνιση

$$\partial_n = \partial_n^{(B)} : H_n(M''_n) \longrightarrow H_{n-1}(M'_n)$$

$$\underbrace{\quad}_{\psi} \quad \underbrace{\quad}_{\psi}$$

$$x + B_n(M''_n) \longmapsto f_{n-1}^{-1}(d_n(g_n^{-1}(x))) + B_{n-1}(M'_n)$$

είναι καλά ορισμένη, αποτελεί ομομορφισμό R -μοδίων (των λερόμενων συνδετικό ομομορφισμό για την (*)), ενώ η επαχόμενη ακολουθία R -μοδίων και ομομορφισμών R -μοδίων

$$\dots \xrightarrow{\partial_{n+1}} H_n(M'_n) \xrightarrow{H_n(f_n)} H_n(M_n) \xrightarrow{H_n(g_n)} H_n(M''_n) \xrightarrow{\partial_n} H_{n-1}(M'_n) \rightarrow \dots$$

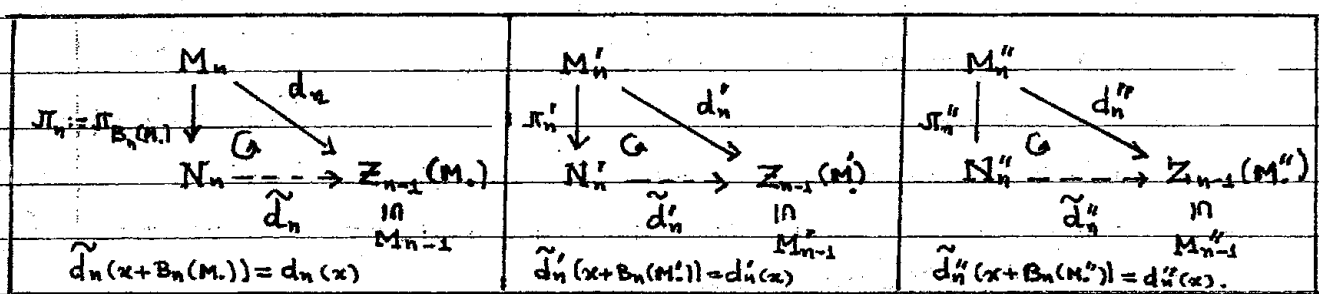
είναι ακρίβης (και ονομάζεται μακρά ακρίβης ακολουθία ομομορφισμών για την (*)).

Απόδειξη (i) Η απεικόνιση στον $H_n(M)$ έχει ήδη αναδειχθεί στο λήμμα 2.3.10.

(ii) Εισάγονται οι ενντομογραφίες

$$\left\{ \begin{array}{l} N_n := \text{coker}(d_{n+1}) (= M_n/B_n(M)) \\ N'_n := \text{coker}(d'_{n+1}) (= M'_n/B_n(M')) \\ N''_n := \text{coker}(d''_{n+1}) (= M''_n/B_n(M'')) \end{array} \right.$$

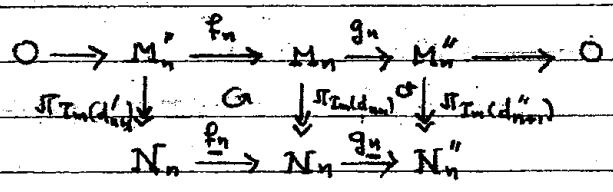
Επειδή τα M, M', M'' είναι αδυσώστα σύμπλοκα, έχουμε $B_n(M) \subseteq Z_n(M) = \text{Ker}(d_n)$, $B_n(M') \subseteq Z_n(M') = \text{Ker}(d'_n)$, $B_n(M'') \subseteq Z_n(M'') = \text{Ker}(d''_n)$, οπότε κατά το πρόγραμμα 1.4.6. υπάρχουν ομομορφισμοί $\tilde{d}_n, \tilde{d}'_n, \tilde{d}''_n$ (μονομορφικούς ερισμένοι), οι οποίοι καθιστούν τα κάτωθι διαγράμματα μεταθετικά:



(Γενίωση: Επειδή π_n, π'_n, π''_n είναι ομομορφισμοί, έχουμε $\left. \begin{array}{l} \text{Im}(d_n) = \text{Im}(\tilde{d}_n) \\ \text{Im}(d'_n) = \text{Im}(\tilde{d}'_n) \\ \text{Im}(d''_n) = \text{Im}(\tilde{d}''_n) \end{array} \right\}$)

(iii) Κατά το πρόγραμμα 2.1.9 (και λόγω της απεικόνισης της $0 \rightarrow M'_n \xrightarrow{f_n} M_n \xrightarrow{g_n} M''_n \rightarrow 0$) υφίσταται το ακόλουθο μεταθετικό διάγραμμα R -μοδίων και ομομορφισμών

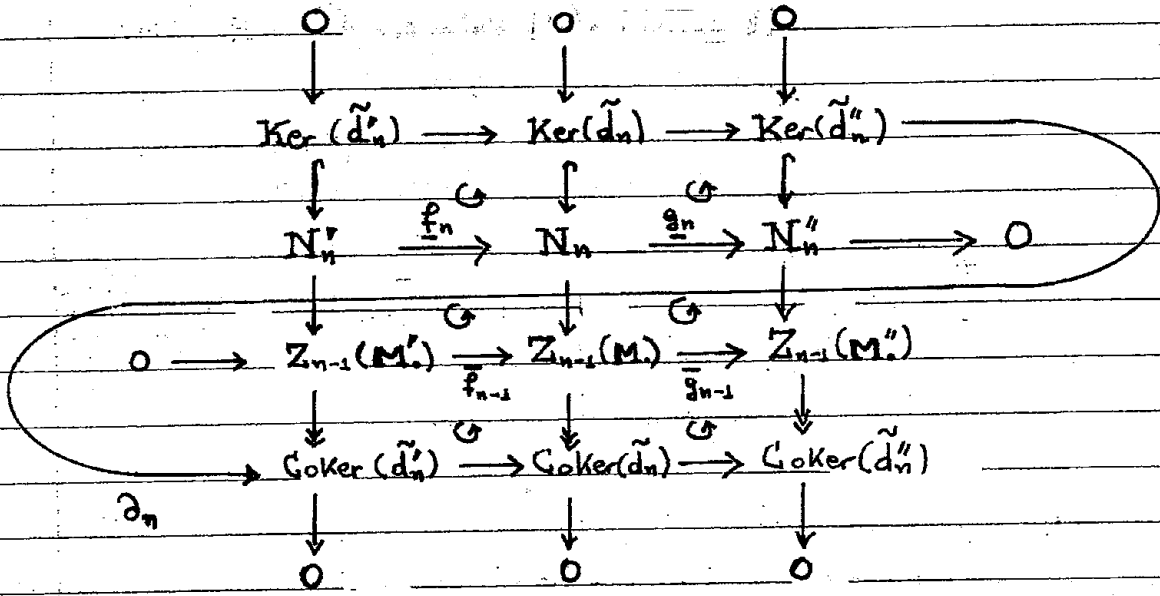
R -μοδίων:



με τον άνω του γραμμών απεικόνιση. Επειδή $g_n \circ \pi_n \circ \pi_{\text{Im}(d_{n+1})} \parallel \pi''_n \circ \pi''_{\text{Im}(d_{n+1})} \circ g_n$ έχουμε $\left. \begin{array}{l} \text{Επιφ.} \\ \text{Επιφ.} \\ \text{Επιφ.} \end{array} \right\}$ g_n ομομορφισμός

(Υ.Ρ.Σ. Σημειώσεις Εισαγωγής στην Άλγεβρα, Πρόταση 1.2.15, σελ. 12)

(iv) Κατά το πρόγραμμα 2.1.11 (και λόγω της απεικόνισης της $0 \rightarrow M'_{n-1} \xrightarrow{f_{n-1}} M_{n-1} \xrightarrow{g_{n-1}} M''_{n-1} \rightarrow 0$) υφίσταται το ακόλουθο μεταθετικό διάγραμμα R -μοδίων και ομομορφισμών R -μοδίων



$$\begin{aligned} \text{Ker}(d_n^I) &= \{x + B_n(M_0) \in N_n \mid d_n(x + B_n(M_0)) = 0_{M_{n-1}}\} \\ &= \{x + B_n(M_0) \in N_n \mid d_n(x) = 0_{M_{n-1}}\} \\ &= \{x + B_n(M_0) \in N_n \mid x \in \text{Ker}(d_n) = Z_n(M_0)\} \\ &= Z_n(M_0) / B_n(M_0) = H_n(M_0). \end{aligned}$$

Κατ' αναλογία δείχνεται ότι $\text{Ker}(d_n^I) = H_n(M_0)$, $\text{Ker}(d_n^{II}) = H_n(M_0)$.

Από την άλλη μεριά, $\text{Coker}(d_n^I) = Z_{n-1}(M_0) / \text{Im}(d_n^I) \stackrel{(ii)}{=} \underbrace{Z_{n-1}(M_0) / \text{Im}(d_n)}_{H_{n-1}(M_0)}$

Κατ' αναλογία δείχνεται ότι $\begin{cases} \text{Coker}(d_n^I) = H_{n-1}(M_0) \\ \text{Coker}(d_n^{II}) = H_{n-1}(M_0) \end{cases}$

(vii) Τελικές παρατηρήσεις: Είναι εύκολο να αποδειχθεί ότι οι ομομορφισμοί $H_n(f)$, $H_n(g)$ συμπληρώνουν μεταθετικώς τα δύο άνω τετράγωνα και οι $H_{n-1}(f)$, $H_{n-1}(g)$ τα δύο κάτω τετράγωνα του διαγράμματος του (vi), οπότε λόγω της ιδιότητας τού μονοσημάντου (βλ. προτάσεις 2.1.9 και 2.1.11), είναι αυτοί που θα πρέπει να εχρησιμοποιήσουν στην άνω και κάτω γραμμή τού διαγράμματος. Τέλος, και ο ορισμός ομομορφισμώ είναι μονοσημάντος ορισμένος (με εξαίρεση τη σύνθεσή του με κάποιον ισομορφισμό), οπότε ως d_n μπορεί άμεσα (δίκως βάσει της γενικότητας) να ληφθεί ο ομομορφισμός με τον τύπο ορισμού που δίδεται στην εκφώνηση τού θεωρήματος (πρβλ. άσκηση 20 τού 4ου φυλλαδίου). \square

2.3.12. Ορισμός Έστω $M_* = (M_n, d_n)_{n \in \mathbb{Z}}$ ένα αλυσωτό σύμπλοκο.

Εάν για κάθε $n \in \mathbb{Z}$ το M'_n παριστά έναν υπομόδιο του R -μοδίου M_n και εάν (ταυτόχρονα) ισχύει ο εγκλεισμός $d_n(M'_n) \subseteq M'_{n-1}$, $\forall n \in \mathbb{Z}$,

τότε το αλυσωτό σύμπλοκο $M'_* := (M'_n, d_n|_{M'_n})_{n \in \mathbb{Z}}$ αναφέρεται ως υποσύμπλοκο του M_* , ενώ το αλυσωτό σύμπλοκο $M_*/M'_* := (M_n/M'_n, d_n^{M_n/M'_n})_{n \in \mathbb{Z}}$ όπου $d_n^{M_n/M'_n}$ είναι ο μονοσήμαντος ορισμένος ομομορφισμός που καθορίζει το διάγραμμα

$$\begin{array}{ccc}
 M_n & \xrightarrow{d_n} & M_{n-1} & \text{μεταθετικό} \\
 \downarrow & \circlearrowleft & \downarrow & (\text{πρβλ. πρόταση 1.5.5, σελ. 17}), \\
 M_n/M'_n & \xrightarrow{d_n^{M_n/M'_n}} & M_{n-1}/M'_{n-1} &
 \end{array}$$

Καλείται πηλικοσύμπλοκο του M_* ως προς το M'_* .

2.3.13. Σημείωση Επειδή για κάθε $n \in \mathbb{Z}$ η βραχεία ακολουθία R -μοδίων και ομομορφισμών R -μοδίων

$$0 \rightarrow M'_n \xrightarrow{i_n} M_n \xrightarrow{p_n} M_n/M'_n \rightarrow 0$$

(όπου i_n η φυσική ένθεση και $p_n := \pi_{M'_n}$) είναι ακριβής, προκύπτει μια βραχεία ακριβής ακολουθία αλυσωτών συμπλοκών

$$0 \rightarrow M'_* \xrightarrow{i_*} M_* \xrightarrow{p_*} M_*/M'_* \rightarrow 0,$$

η οποία (σύμφωνα με το θεώρημα 2.3.11) ελέγχει τη μακρά ακριβή ακολουθία ομολογίας:

$$\dots \rightarrow H_{n+1}(M_*/M'_*) \xrightarrow{\partial_{n+1}} H_n(M'_*) \xrightarrow{H_n(i_*)} H_n(M_*) \xrightarrow{H_n(p_*)} H_n(M_*/M'_*) \xrightarrow{\partial_n} \dots$$

2.3.14. Ορισμός Εάν η $(M_{j,n} := (M_{j,m}, d_{j,m})_{m \in \mathbb{Z}})_{j \in J}$ είναι μια οικογένεια

αλυσωτών συμπλοκών, τότε τόσο το $\bigoplus_{j \in J} M_{j,n} := (\bigoplus_{j \in J} M_{j,m}, \bigoplus_{j \in J} d_{j,m})_{m \in \mathbb{Z}}$

όσο και το $\prod_{j \in J} M_{j,n} := (\prod_{j \in J} M_{j,m}, \prod_{j \in J} d_{j,m})_{m \in \mathbb{Z}}$ (πρβλ. άσκηση 7 του 2ου φύλλου)

είναι αλυσωτά σύμπλοκα. Το μεν πρώτο καλείται ευθύ άθροισμα, το δε δεύτερο ευθύ γινόμενο των μελών της εν λόγω οικογένειας.

2.3.15. Άσκηση Να αποδειχθεί ότι οι $(\lambda$ -οστές) ενθέσεις

$$i_{\lambda,*} : M_{\lambda,*} \hookrightarrow \bigoplus_{j \in J} M_{j,*} \quad (\lambda \in I) \quad (\text{πρβλ. 1.5.12})$$

και $(\lambda$ -οστές) προβολές

$$p_{\lambda,*} : \prod_{j \in J} M_{j,*} \twoheadrightarrow M_{\lambda,*} \quad (\lambda \in I) \quad (\text{πρβλ. 1.5.4})$$

επάγων ισομορφισμούς R-μοδίων

	$\bigoplus_{j \in J} H_n(M_{j, \bullet}) \xrightarrow{\cong} H_n\left(\bigoplus_{j \in J} M_{j, \bullet}\right)$	
	$\bigoplus_{j \in J} H_n(\text{in}_{j, \bullet})$	
και	$H_n\left(\prod_{j \in J} M_{j, \bullet}\right) \xrightarrow{\cong} \prod_{j \in J} H_n(M_{j, \bullet})$	
	$\prod_{j \in J} H_n(\text{pr}_{j, \bullet})$	

αντιστοίχως, $\forall n \in \mathbb{Z}$.

Υπόδειξη. Αρκεί να αποδειχθεί ότι το $H_n\left(\bigoplus_{j \in J} M_{j, \bullet}\right)$ (και αντιστοίχως το $H_n\left(\prod_{j \in J} M_{j, \bullet}\right)$) αποτελεί συγχινόμενο (και αντιστοίχως, χινόμενο) της οικογένειας R-μοδίων $(H_n(M_{j, \bullet}))_{j \in J}$ (βλ. 1.5.9 και 1.5.1, αντιστοίχως) και να χρησιμοποιηθεί η ιδιότητα του μονοσημάντου "μέχρι ισομορφισμού" (βλ. Θεωρήματα 1.5.11 και 1.5.3, αντιστοίχως). Ένας άλλος τρόπος απόδειξης περιλαμβάνει τη χρήση των ισομορφισμών της αλκίδας θ του 2.3.11 γυμνασίου. \square

Εν συνεχεία, υποθέτουμε ότι τα $M_\bullet = (M_n, d_n)_{n \in \mathbb{Z}}$ είναι ένα αλγεωρικό σύμπλοκο και ότι τα M'_\bullet, M''_\bullet είναι δύο υποσμπλοκά του (υπό την έννοια του ορισμού 2.3.12). Τότε τότε το $M'_\bullet \cap M''_\bullet := (M'_n \cap M''_n, d_n|_{M'_n \cap M''_n})_{n \in \mathbb{Z}}$ όσο και το $M'_\bullet + M''_\bullet := (M'_n + M''_n, d_n|_{M'_n + M''_n})$ είναι υποσμπλοκά του M_\bullet και ισχύει το εξής:

2.3.16 Θεώρημα (Αλγεβρική εκδοχή της μακράς ακριβούς ακολουθίας των Mayer και Vietoris)

Υφίστανται δύο ακριβείς μακρές ακολουθίες R-μοδίων ομολογίας (και καταλλήλων ομομορφισμών μεταξύ αυτών) της μορφής:

$$\dots \xrightarrow{\Delta_{n+1}} H_{n+1}(M'_\bullet + M''_\bullet) \xrightarrow{\Psi_n} H_n(M'_\bullet \cap M''_\bullet) \xrightarrow{\Phi_n} H_n(M'_\bullet \oplus M''_\bullet) \xrightarrow{\Delta_n} H_n(M'_\bullet + M''_\bullet) \rightarrow \dots$$

και

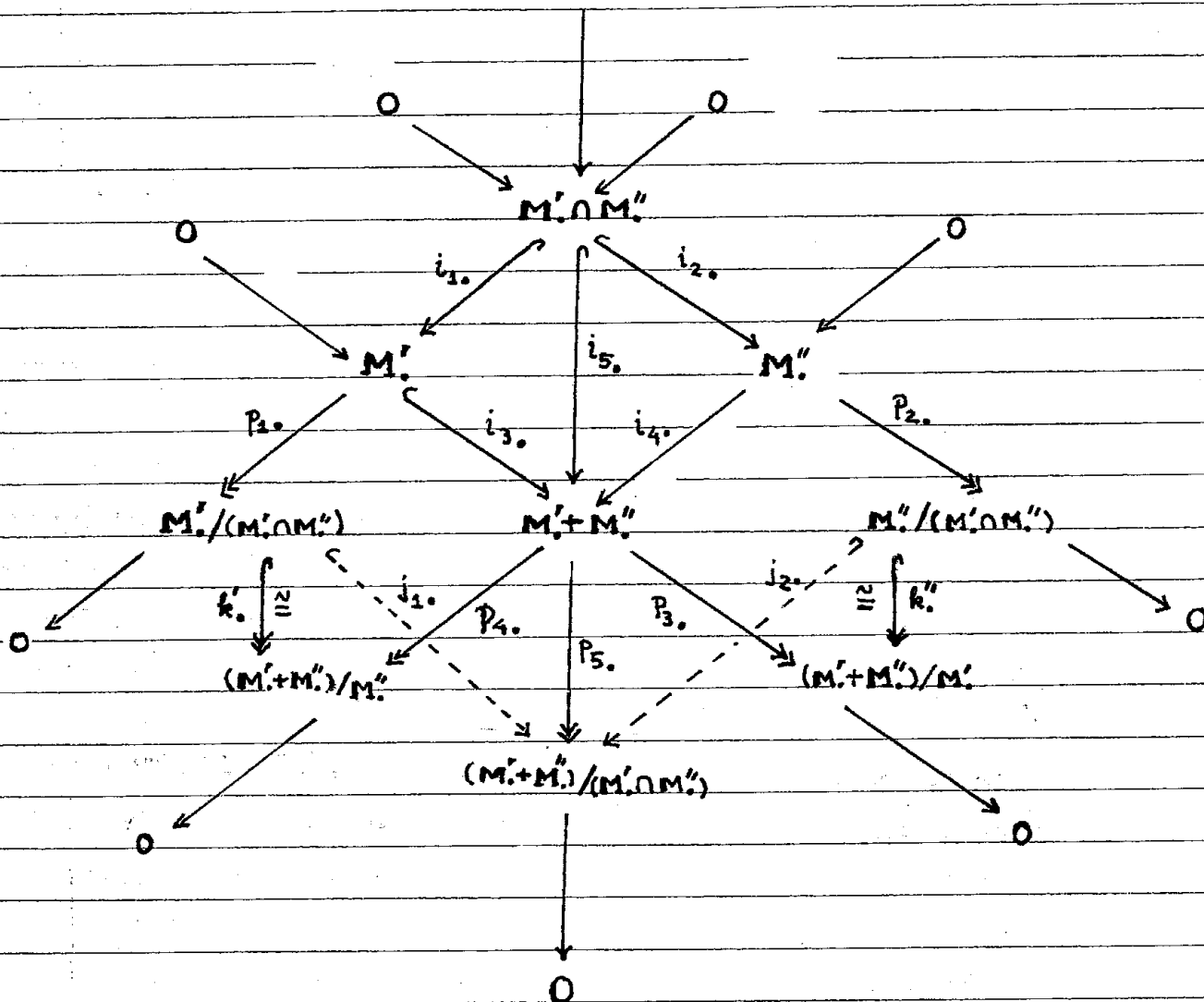
$$\begin{matrix} \parallel (2.3.15) \\ H_n(M'_\bullet) \oplus H_n(M''_\bullet) \end{matrix}$$

$$\dots \xrightarrow{\Delta'_{n+1}} H_{n+1}(M'_\bullet + M''_\bullet) \xrightarrow{\Psi'_n} H_n(M'_\bullet \cap M''_\bullet) \xrightarrow{\Phi'_n} H_n(M''_\bullet \oplus M'_\bullet) \xrightarrow{\Delta'_n} H_n(M'_\bullet + M''_\bullet) \rightarrow \dots$$

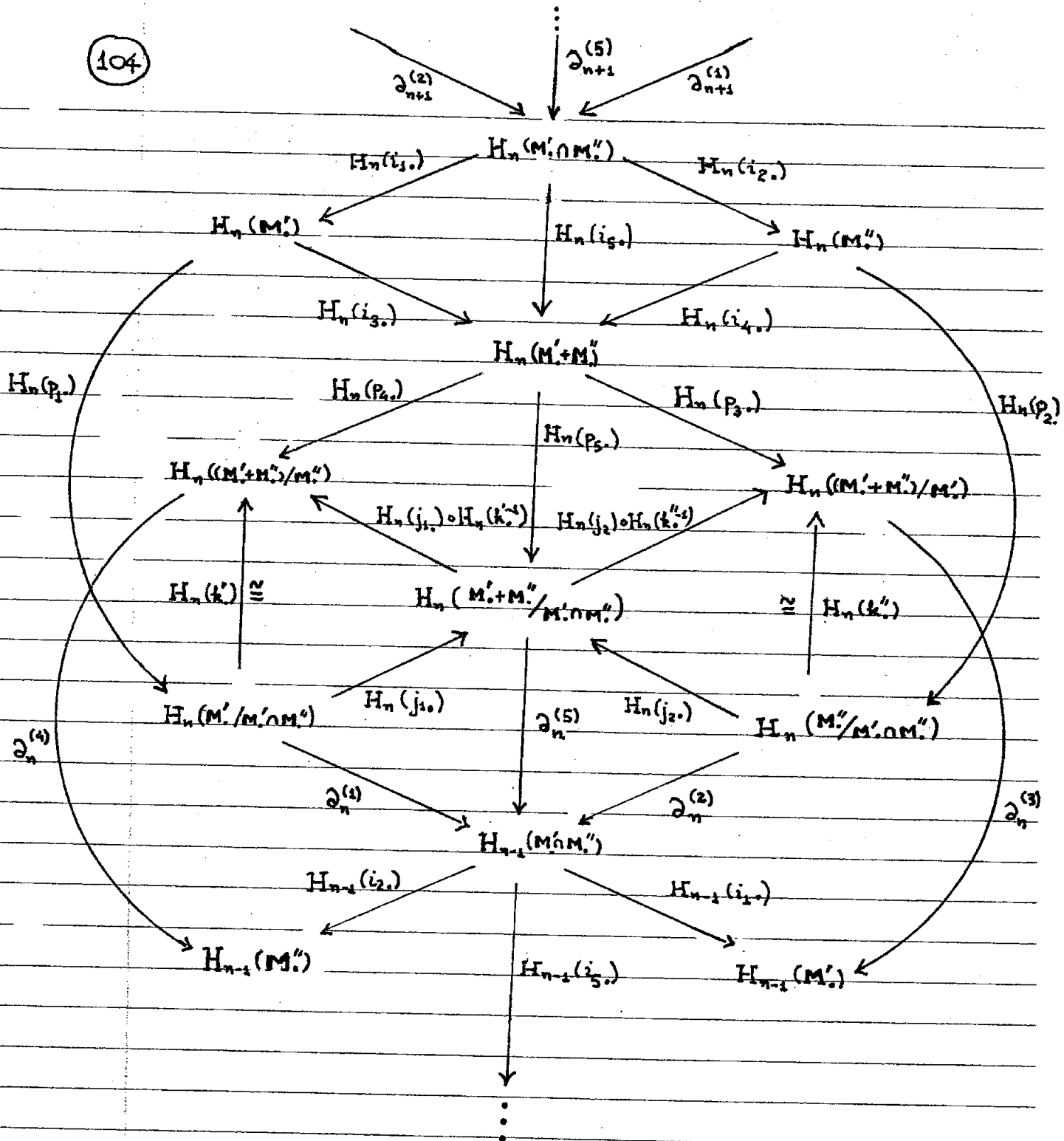
όπου $\Delta'_n = -\Delta_n, \forall n \in \mathbb{Z}$.

$$\begin{matrix} \parallel (2.3.15) \\ H_n(M''_\bullet) \oplus H_n(M'_\bullet) \end{matrix}$$

Απόδειξη: Λαμβάνοντας υπ' όψιν τις πέντε βραχείες ακριβείς ακολουθίες απειωτών συμπλέκων (βλ. 2.3.13), 0



Οι οποίες προκύπτουν από την (κατά φυσικό τρόπο) δέσμευση των ηλιακοεμπλόκων $M'/(M' \oplus M'')$, $M''/(M' \oplus M'')$, $(M' + M'')/M'$, $(M' + M'')/M''$, $(M' + M'')/(M' \oplus M'')$, (και έχουν αριθμηθεί κατ' αυξήν τη σειρά), καθώς και τις ενθέσεις j_1, j_2 και τους ισομορφισμούς k', k'' (τους απορρέοντες από το 2^ο θεώρημα ισομορφισμών μωδίων 1.4.11), έχουμε τη δυνατότητα μεταφάσεώς μας στις αντίστοιχες μακρές ακριβείς ακολουθίες ομολογίας κάνοντας χρήση του θεωρήματος 2.3.11. Το "μεγάλο" διάγραμμα αλληλοεπηρεαζομένων ακολουθιών που σχηματίζεται είναι το εξής:



Εν προκειμένω, οι $\partial_n^{(i)}$, $1 \leq i \leq 5$, είναι οι συνδέτικοί ομομορφισμοί των πέντε επαχόμενων μακρών ακριβών ακολουθιών ομολογίας. Είναι εύκολο να ελεγχθεί ότι όλα τα τρίγωνα του ανωτέρω διαγράμματος είναι μεταθετικά (άβικωτα!). Για την αποπεράτωση της αποδείξεως (και περαιτέρω επεξηγήσεις περί του τρόπου ορισμού των $\Delta_n, \Delta'_n, \Psi_n, \Psi'_n, \Phi_n, \Phi'_n$) οι αναγκαίστες παραλείπονται στην άσκηση 23 του 4ου φυλλαδίου. \square

2.3.17. Ορισμός. Έστω $\dots \xrightarrow{d^{n-2}} M^{n-1} \xrightarrow{d^{n-1}} M^n \xrightarrow{d^n} M^{n+1} \xrightarrow{d^{n+1}} \dots$ μια ακολουθία R -μοδίων και ομομορφισμών R -μοδίων (με ανιόν σύνολο δεικτών και με τους δείκτες αναγραφόμενα "εν είδει δυνάμεων"). Τότε αυτή καλείται συναλυσιωτό σύμπλοκο (ή πριακριβής ακολουθία με ανιόν σύνολο δεικτών) όταν $d^n \circ d^{n-1} = 0, \forall n \in \mathbb{Z}$, και συμβολίζεται -εν συντομία- ως $M^\bullet = (M^n, d^n)_{n \in \mathbb{Z}}$. Οι ομομορφισμοί $d^n_M = d^n, n \in \mathbb{Z}$, καλούνται επίσης συνδυαστικοί τελεστές ή συνδιαφορικά του συναλυσιωτού συμπλόκου M^\bullet .

2.3.18 Ορισμός. Έστω $M^\bullet = (M^n, d^n)_{n \in \mathbb{Z}}$ ένα συναλυσιωτό σύμπλοκο.

Θέτουμε $B^n(M^\bullet) := \text{Im}(d^{n-1}), Z^n(M^\bullet) := \text{Ker}(d^n), \forall n \in \mathbb{Z}$.

Προφανώς, αμφότεροι οι $B^n(M^\bullet), Z^n(M^\bullet)$ είναι υπομόδιαι του R -μοδίου M^n και $B^n(M^\bullet) \subseteq Z^n(M^\bullet)$. Τα στοιχεία του $B^n(M^\bullet)$ καλούνται n -οστά συσσίνορα και τα στοιχεία του $Z^n(M^\bullet)$ n -οστά συγκακλήματα του συναλυσιωτού συμπλόκου M^\bullet .

Ο πηλικομόδιος

$$H^n(M^\bullet) := Z^n(M^\bullet) / B^n(M^\bullet)$$

καλείται n -οστός μόδιος συνολογίας του συναλυσιωτού συμπλόκου M^\bullet .

2.3.19. Ορισμός. Έστω ότι τα $M^\bullet = (M^n, d^n)_{n \in \mathbb{Z}}, M'^\bullet = (M'^n, d'^n)_{n \in \mathbb{Z}}$, είναι δυο συναλυσιωτά σύμπλοκα. Μια απεικόνιση $f^\bullet: M^\bullet \rightarrow M'^\bullet$ είναι μια ακολουθία απεικονίσεων $(f^n: M^n \rightarrow M'^n)_{n \in \mathbb{Z}}$. (Και' αναλογία, ορίζεται η σύνθεση $(g \circ f)^\bullet: M^\bullet \rightarrow M''^\bullet$ δυο απεικονίσεων συναλυσιωτών συμπλόκων $f^\bullet: M^\bullet \rightarrow M'^\bullet$ και $g^\bullet: M'^\bullet \rightarrow M''^\bullet$ ως η οικογένεια $(g^n \circ f^n: M^n \rightarrow M''^n)_{n \in \mathbb{Z}}$.)

Μια απεικόνιση συναλυσιωτών συμπλόκων $f^\bullet: M^\bullet \rightarrow M'^\bullet$ καλείται συναλυσιωτός μετασχηματισμός όταν για κάθε $n \in \mathbb{Z}$ η $f^n: M^n \rightarrow M'^n$ είναι ομομορφισμός R -μοδίων και (ταυτοχρόνως) το διάγραμμα

$$\begin{array}{ccc} M^n & \xrightarrow{f^n} & M'^n \\ d^n \downarrow & \circlearrowleft & \downarrow d'^n \\ M^{n+1} & \xrightarrow{f^{n+1}} & M'^{n+1} \end{array} \quad \text{είναι μεταθετικό.}$$

2.3.20. Πρόταση. Για κάθε συναλυστικό μετασχηματισμό $f^*: M^* \rightarrow M'^*$ ισχύει $f^n(Z^n(M^*)) \subseteq Z^n(M'^*)$ και $f^n(B^n(M^*)) \subseteq B^n(M'^*)$, $\forall n \in \mathbb{Z}$. Ως εκ τούτου, επαχεται ένας μονοσήμαντος ορισμένος ομομορφισμός R -μοδίων

$$H^n(f^*): H^n(M^*) \longrightarrow H^n(M'^*),$$

ούτως ώστε $\pi_{B^n(M'^*)} \circ (f^n|_{Z^n(M^*)}) = H^n(f^*) \circ \pi_{B^n(M^*)}$.

Απόδειξη: Άσκηση (πρβλ. 2.3.6). \square

2.3.21 Πρόταση. Εάν οι $f^*: M' \rightarrow M^*$, $g^*: M^* \rightarrow M''^*$ είναι συναλυστικοί μετασχηματισμοί, τότε $H^n((g \circ f)^*) = H^n(g^*) \circ H^n(f^*)$, $\forall n \in \mathbb{Z}$.

Απόδειξη: Άσκηση (πρβλ. 2.3.7). \square

2.3.22. Πρόταση. Έστω $M^* = (M^*, d^n)_{n \in \mathbb{Z}}$ ένα συναλυστικό σύμπλοκο και έστω $\text{Id}^*: M^* \rightarrow M^*$ ο ταυτοτικός συναλυστικός μετασχηματισμός $\text{Id}^* = (\text{Id}^n: M^* \rightarrow M^*)_{n \in \mathbb{Z}}$. Τότε $H^n(\text{Id}^*) = \text{Id}_{H^n(M^*)}$, $\forall n \in \mathbb{Z}$.

Απόδειξη: Άσκηση (πρβλ. 2.3.8). \square

2.3.23. Ορισμός. Μια ακολουθία συναλυστικών συμπλόκων και συναλυστικών μετασχηματισμών της μορφής $0 \rightarrow M^* \xrightarrow{f^*} M^* \xrightarrow{g^*} M''^* \rightarrow 0$ (όπου εδω το "0" παριστά ένα συναλυστικό σύμπλοκο απαρτιζόμενο μόνον από τετριμμένους R -μοδούς και τετριμμένους ομομορφισμούς) καλείται βραχεία ακριβής ακολουθία συναλυστικών συμπλόκων όταν η $0 \rightarrow M^* \xrightarrow{f^*} M^* \xrightarrow{g^*} M''^* \rightarrow 0$ είναι βραχεία ακριβής ακολουθία (υπό την έννοια του 2.1.2 (iv)) για κάθε $n \in \mathbb{Z}$.

2.3.24. Θεώρημα. Έστω $0 \rightarrow M^* \xrightarrow{f^*} M^* \xrightarrow{g^*} M''^* \rightarrow 0$ μια βραχεία ακριβής ακολουθία συναλυστικών συμπλόκων. Τότε για κάθε $n \in \mathbb{Z}$ υπάρχει συνδέτικός ομομορφισμός R -μοδίων

$$\partial^n = \partial_{**}^n: H^n(M''^*) \longrightarrow H^{n+1}(M^*),$$

τέτοιος ώστε η επαγομένη ακολουθία R -μοδίων και ομομορφισμών R -μοδίων

$$\dots \xrightarrow{\partial^{n-1}} H^n(M^{\bullet}) \xrightarrow{H^n(f)} H^n(M^{\circ}) \xrightarrow{H^n(g)} H^n(M^{\bullet\bullet}) \xrightarrow{\partial^n} H^{n+1}(M^{\bullet\bullet}) \rightarrow \dots$$

να είναι ακριβής. (Πρόκειται για τη μακρά ακολουθία ομοολογίας η_n του $(*)$).

Απόδειξη: Αόριστη (Πρόβλ. 2.3.10 και 2.3.11). \square

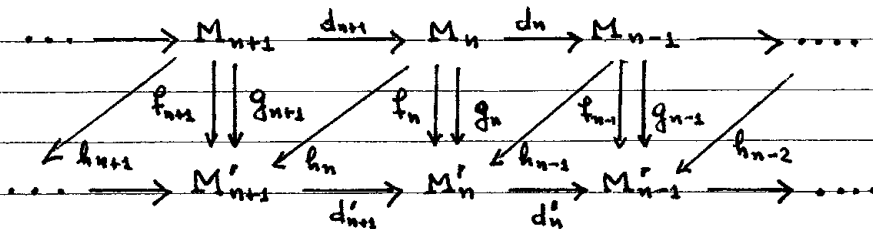
2.3.25. Σημείωση. Αναλόγως παρακάθονται και οι διατυπώσεις των ορισμών 2.3.12, 2.3.14 και η απόδειξη του 2.3.16 για συναλυστικά σύμπλοκα και μόδιους ομοολογίας. Παρατηρούμε ότι κάθε συναλυστικό σύμπλοκο $M^{\bullet} = (M^n, d^n)$ μπορεί να μετατραπεί σε ένα αλυστικό σύμπλοκο $N_{\bullet} = (N_n, \delta_n)$ με $H^{-n}(M^{\bullet}) = H_n(N_{\bullet})$ όταν κανείς θέσει $N_n := M^{-n}$ και $\delta_n := d^{-n}$.

(Παρομοίως μετατρέπεται κανείς ένα αλυστικό σύμπλοκο σε συναλυστικό.) Είναι λοιπόν εύλογο το ερώτημα τι γιατί να χρησιμοποιούνται αμφότερες οι έννοιες αλυστικό και συναλυστικό σύμπλοκο, και μόδια ομοολογίας και ομοολογίας, αντιστοίχως. Ο κύριος λόγος χρησιμοποιήσεως αμφότερων είναι: ας' ενός μεν οι ημιακριβείς ακολουθίες με ακτιόν σύνδρο δεικτών ευνακτώνται συχνά στην Άλγεβρα, ενώ ημιακριβείς ακολουθίες με κατιόν σύνδρο δεικτών ευνακτώνται συχνά στην Άλγεβρική Τόπολογία, ας' ετέρου δε οι ομάδες (ή οι μόδιοι) ομοολογίας που χειρίζεται κανείς στην Άλγεβρική Τόπολογία δεν προέρχονται από απλή αλλαγή προσήμων δεικτών των ομάδων (ή μοδίων) ομοολογίας ενός αλυστικού συμπλόκου, αλλά από την εφαρμογή του συναρτητή H_{0mR} σε κάποιο κατάλληλο αλυστικό σύμπλοκο (όπως, παραδείγμα-
τος χάριν, στο σύμπλοκο των ιδιομορφιών αλυσίδων ενός τοπολογικού χώρου με αντεστραφεί επισημάνους από τον R .) Με εκ τούτου, επέρχεται μετάβαση από συναλυστικούς σε ανταλλοιώτους συναρτητές (στην κατασκευή των R -μοδίων)!

Εάν τα M, M' είναι δυο αλυσωτά σύμπλοκα και $f, g: M \rightarrow M'$ αλυσωτοί μετασχηματισμοί τότε έχουμε $H_n(f) = H_n(g)$; Μια ικανή συνθήκη (προς τούτο) διασφαλίζεται μέσω εισαγωγής της έννοιας της ομοτοπίας.

2.4.1. Ορισμός: Έστω ότι τα $M = (M_n, d_n)_{n \in \mathbb{Z}}$ και $M' = (M'_n, d'_n)_{n \in \mathbb{Z}}$ είναι δυο αλυσωτά σύμπλοκα. Δυο αλυσωτοί μετασχηματισμοί $f, g: M \rightarrow M'$ ονομάζονται (αλυσωτός) ομοτοπιοί όταν υπάρχει μια ακολουθία ομομορφισμών R -μοδίων $h_n: M_n \rightarrow M'_n$, $n \in \mathbb{Z}$, για την οποία ισχύει η ισότητα

$$f_n - g_n = d'_{n+1} \circ h_n + h_{n-1} \circ d_n, \quad \forall n \in \mathbb{Z}.$$



Συμβολισμός: $h_*: f_* \sim g_*$ (Εν προκειμένω, η ακολουθία $h_* = (h_n)_{n \in \mathbb{Z}}$, καλείται αλυσωτή ομοτοπία)

2.4.2. Σημείωση: Όταν $h_*: Id_M \sim 0$, τότε η h_* καλείται αυτέλλουσα ομοτοπία (για το M_*) και το ίδιο το M_* ονομάζεται αλυσωτό σύμπλοκα

2.4.3. Ορισμός: Δυο αλυσωτά σύμπλοκα M_* και M'_* ονομάζονται ομοτοπικώς ισοδύναμα όταν υπάρχουν αλυσωτοί μετασχηματισμοί $f_*: M_* \rightarrow M'_*$ και $g_*: M'_* \rightarrow M_*$, τέτοιοι ώστε να ισχύει $(g_* \circ f_*) \sim Id_{M_*}$ και $(f_* \circ g_*) \sim Id_{M'_*}$. (Τέτοιοι αλυσωτοί μετασχηματισμοί ονομάζονται αλυσωτές ισοδυναμίες.)

2.4.4. Πρόταση: Η σχέση ομοτοπίας αλυσωτών μετασχηματισμών (βλ. 2.4.1) αποτελεί μια σχέση ισοδυναμίας (υπό τη συνήθη έννοια).

Απόδειξη: Έστω ότι τα $M_* = (M_n, d_n)_{n \in \mathbb{Z}}$, $M'_* = (M'_n, d'_n)_{n \in \mathbb{Z}}$ είναι δυο αλυσωτά σύμπλοκα και ότι οι $f_*, g_*, k_*: M_* \rightarrow M'_*$ είναι τυχόντες αλυσωτοί μετασχηματισμοί.

(i) Προφανώς, $h_*: f_* \sim f_*$, εάν θέσουμε $h_n = 0$, $\forall n \in \mathbb{Z}$.

Άρα η " \sim " είναι ανακλαστική.

(ii) Υποθέτουμε ότι $h_*: f_* \sim g_*$, διαπιστώνουμε ότι $(-h_*)_*: g_* \sim f_*$, οπότε η " \sim " είναι συμμετρική.

(iii) Εάν υποθέσουμε ότι $h_1: f_1 \sim g_1$
 και $h_2: g_2 \sim k_2$, τότε διαπιστώνουμε εύκολα ότι
 $(h_1 + h_2): (f_1 + f_2) \sim (g_1 + g_2)$, οπότε η " \sim " είναι και μεταβατική. \square

2.4.5. Πρόταση. Εάν τα $M_n = (M_n, d_n)_{n \in \mathbb{Z}}$, $M'_n = (M'_n, d'_n)_{n \in \mathbb{Z}}$ είναι δυο
 αλυσωτά συμπλοκά και $f_n, g_n: M_n \rightarrow M'_n$ δυο αλυσωτοί μετασχηματισμοί,
 τότε ισχύει η ακόλουθη συνεπαγωγή:

$$(f_n \sim g_n \implies H_n(f_n) = H_n(g_n), \forall n \in \mathbb{Z})$$

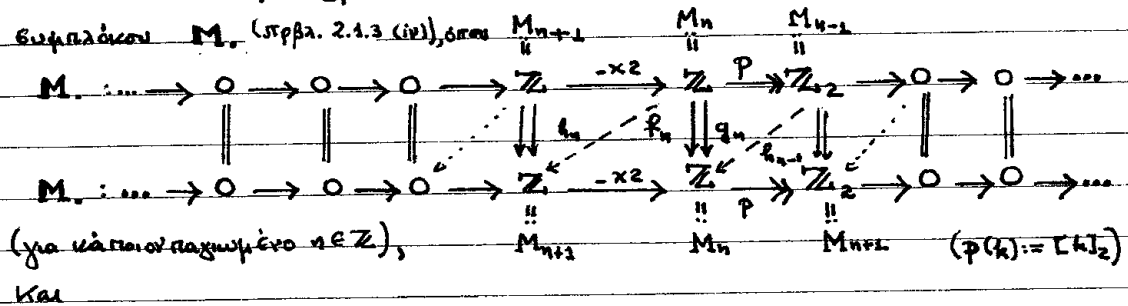
Απόδειξη. Εάν $h_n: f_n \sim g_n$, τότε για οιοδήποτε $x \in Z_n(M_n)$, $n \in \mathbb{Z}$,
 έχουμε

$$\begin{aligned} f_n(x + B_n(M_n)) - g_n(x + B_n(M_n)) &= (f_n(x) - g_n(x)) + B_n(M'_n) \\ &= (d'_{n+1}(h_n(x)) - h_{n+1}(d_n(x))) + B_n(M'_n) = B_n(M'_n) = 0_{H_n(M'_n)} \end{aligned}$$

$\left[\begin{array}{l} x \in Z_n(M_n) \implies d_n(x) = 0_{M_{n-1}} \\ d'_{n+1}(h_n(x)) \in \text{Im}(d'_{n+1}) = B_n(M'_n) \end{array} \right]$

'Αρα $H_n(f_n - g_n) = H_n(f_n) - H_n(g_n) = 0$. \square

2.4.6. Σημείωση. Η αντίστροφη συνεπαγωγή " \Leftarrow " δεν είναι πάντοτε
 αληθής. Επί παραδείγματι, θεωρήσαντας δύο αντίστροφα τὰ ἴδια αλυσωτά
 συμπλοκά M_n (πρβλ. 2.1.3 (iv)), όπου $M_{n+1} \xrightarrow{-x^2} M_n \xrightarrow{P} M_{n-1}$



$$f_j := \begin{cases} \text{Id}_{\mathbb{Z}}, & \text{όταν } j \in \{n, n+1\} \\ \text{Id}_{\mathbb{Z}_2}, & \text{όταν } j = n-1 \\ 0, & \text{όταν } j \in \{n-2, n+2\} \end{cases} \quad g_j := \begin{cases} \text{Id}_{\mathbb{Z}}, & \text{όταν } j = n+1 \\ \text{Id}_{\mathbb{Z}_2}, & \text{όταν } j = n-1 \\ 0, & \text{όταν } j \in \{n-2, n+2\} \end{cases}$$

$\forall j \in \mathbb{Z}$, και υποθέσουμε ότι $\exists h_j: M_j \rightarrow M_{j+1}$ (ομομορφισμός \mathbb{Z} -modulov)
 $\forall j \in \mathbb{Z}$, ούτως ώστε $h_n: f_n \sim g_n$, τότε κατ' αναγκασίον $h_j = 0, \forall j \in \mathbb{Z} \setminus \{n-1, n\}$.

$$\text{και } \begin{cases} 0 = f_{n-1} - g_{n-1} = p \circ h_{n-1}, & (1) \\ \text{Id}_{\mathbb{Z}} = f_n - g_n = (x_2) \circ h_n + h_{n-1} \circ p, & (2) \\ 0 = f_{n+1} - g_{n+1} = h_n \circ (x_2) & (3) \end{cases}$$

$$\text{Επομένως, } (3) \Rightarrow 2\mathbb{Z} = \text{Im}(x_2) \subseteq \text{Ker}(h_n) \Rightarrow \left. \begin{array}{l} h_n(2k) = 0, \forall k \in \mathbb{Z} \\ \parallel \\ 2 h_n(k) \\ \mathbb{Z} \text{ αι. περιοχί} \end{array} \right\} \Rightarrow h_n = 0. \quad (4)$$

Απο τις (2) και (4) έπεται ότι

$$(1) \Rightarrow \left. \begin{array}{l} h_{n-1} \circ p = \text{Id}_{\mathbb{Z}} \\ p \circ h_{n-1} = 0 \end{array} \right\} \Rightarrow \left. \begin{array}{l} p \circ (h_{n-1} \circ p) = p \circ \text{Id}_{\mathbb{Z}} = p \\ \parallel \\ (p \circ h_{n-1}) \circ p \\ = 0 \end{array} \right\} \Rightarrow p = 0 \text{ άτοπο!}$$

Απο την άλλη μεριά, $H_n(M.) = 0, \forall n \in \mathbb{Z}$, οπότε $H_n(f.) = 0 = H_n(g.)$.

2.4.7. Πρόταση. Έστω ότι τα $M.$ και M' είναι δυο αλυσωτά σύμπλοκα.

Εάν τα $M.$ και M' είναι ομοτοπικώς ισοδύναμα και $f.: M. \rightarrow M'$ μια αλυσωτή ισοδυναμία (πλ. 2.4.3), τότε

$$H_n(M.) \xrightarrow[H_n(f.)]{\cong} H_n(M'), \forall n \in \mathbb{Z}.$$

Απόδειξη: Εξ ορισμού υπάρχει και ένας αλυσωτός μετασχηματισμός (:αλυσωτή ισοδυναμία) $g.: M' \rightarrow M.$ με $(g \circ f.) \simeq \text{Id}_{M.}$ και $(f \circ g.) \simeq \text{Id}_{M'}$.

Σύμφωνα με τις προτάσεις 2.3.7, 2.3.8 και 2.4.5 έχουμε

$$\left. \begin{array}{l} H_n(g.) \circ H_n(f.) = H_n((g \circ f.)) = \text{Id}_{H_n(M.)} \\ H_n(f.) \circ H_n(g.) = H_n((f \circ g.)) = \text{Id}_{H_n(M')} \end{array} \right\} \Rightarrow \text{οι } H_n(f.) \text{ και } H_n(g.) \text{ είναι ισομορφισμοί } R\text{-μοδίων (με } H_n(f.)^{-1} = H_n(g.), \forall n \in \mathbb{Z}). \quad \square$$

2.4.8. Σημείωση. Εάν τα $M.$ και M' είναι δυο αλυσωτά σύμπλοκα και $f.: M. \rightarrow M'$ ένας αλυσωτός μετασχηματισμός με την ιδιότητα

$$H_n(M.) \xrightarrow[H_n(f.)]{\cong} H_n(M'), \forall n \in \mathbb{Z},$$

τότε δεν ισχύει εν γένει το αντίστροφο της προτάσεως 2.4.7, δηλαδή

ο $f.$ δεν είναι κατ'ανάγκη αλυσωτή ισοδυναμία. Ωστόσο, μια ικανή

βιωθήκη για να ισχύει και το αντίστροφο δίδεται στο θεώρημα 2.4.20.

2.4.9. Ορισμός. Εάν τα $M_\bullet = (M_n, d_n)_{n \in \mathbb{Z}}$, $M'_\bullet = (M'_n, d'_n)_{n \in \mathbb{Z}}$ είναι δυο αλυσωτά σύμπλοκα και $f_\bullet: M_\bullet \rightarrow M'_\bullet$ ένας αλυσωτός μετασχηματισμός, τότε η ακολουθία $C(f)_\bullet := (C(f)_n, d_n^f)_{n \in \mathbb{Z}}$, όπου $C(f)_n := M_{n-1} \oplus M'_n$, $\forall n \in \mathbb{Z}$, και

$$d_n^f: C(f)_n \rightarrow C(f)_{n-1}, \quad d_n^f(x, y) := (-d_{n-1}(x), d'_n(y) + f_{n-1}(x)),$$

είναι ο αλγεβρικός κώνος ο επαχόμενος από τον f_\bullet .

2.4.10. Λήμμα. Η ανωτέρω ακολουθία $C(f)_\bullet$ αποτελεί αλυσωτό σύμπλοκο.

Απόδειξη: Πραγματικά, η d_n^f είναι ομομορφισμός R -μοδίων, $\forall n \in \mathbb{Z}$.

Επίσης, για οποιαδήποτε $n \in \mathbb{Z}$, $x \in M_{n-1}$ και $y \in M'_n$ έχουμε

$$\begin{aligned} (d_{n-1}^f \circ d_n^f)(x, y) &= d_{n-1}^f(-d_{n-1}(x), d'_n(y) + f_{n-1}(x)) \\ &= (-d_{n-2}(-d_{n-1}(x)), d'_{n-1}(d'_n(y) + f_{n-1}(x)) + f_{n-2}(-d_{n-1}(x))) \\ &= (\underbrace{(d_{n-2} \circ d_{n-1})(x)}_0, \underbrace{(d'_{n-1} \circ d'_n)(y)}_0 + \underbrace{(d'_{n-1} \circ f_{n-1} - f_{n-2} \circ d_{n-1})(x)}_0) = (0_{M_{n-2}}, 0_{M'_{n-1}}). \end{aligned}$$

$\parallel \leftarrow M$ αλυσωτό σύμπλοκο $\parallel \leftarrow M'$ αλυσωτό σύμπλοκο $\parallel \leftarrow$ διότι ο f_\bullet είναι αλυσωτός μετασχηματισμός.

Άρα η $C(f)_\bullet$ είναι όπως ένα αλυσωτό σύμπλοκο. \square

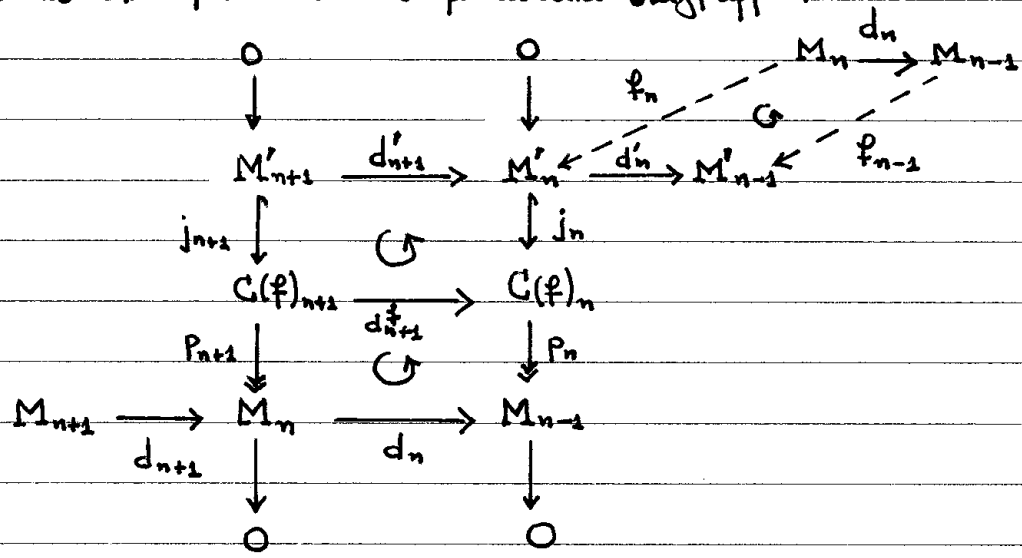
2.4.11. Πρόταση. Εάν τα $M_\bullet = (M_n, d_n)_{n \in \mathbb{Z}}$, $M'_\bullet = (M'_n, d'_n)_{n \in \mathbb{Z}}$ είναι δυο αλυσωτά σύμπλοκα, $f_\bullet: M_\bullet \rightarrow M'_\bullet$ ένας αλυσωτός μετασχηματισμός και $j_\bullet = (j_n: M'_n \rightarrow C(f)_n)_{n \in \mathbb{Z}}$, $p_\bullet = (p_n: C(f)_n \rightarrow M_{n-1})_{n \in \mathbb{Z}}$, τότε η μακρά ακολουθία R -μοδίων ομολογίας

$$\dots \rightarrow H_{n+1}(C(f)_\bullet) \xrightarrow{H_{n+1}(p_\bullet)} H_n(M_\bullet) \xrightarrow{H_n(f_\bullet)} H_n(M'_\bullet) \xrightarrow{H_n(j_\bullet)} H_n(C(f)_\bullet) \xrightarrow{H_n(p_\bullet)} \dots$$

είναι ακριβής.

Απόδειξη. Παρατηρούμε ότι η $\eta(\ast) 0 \rightarrow M'_\bullet \xrightarrow{j_\bullet} C(f)_\bullet \xrightarrow{p_\bullet} M_{\bullet-1} \rightarrow 0$ είναι βραχεία ακριβής ακολουθία αλυσωτών σύμπλοκων. Εφαρμόζοντας το θεώρημα 2.3.11 κατασκευάζουμε τη μακρά ακριβή ακολουθία ομολογίας για τον $\eta(\ast)$.

Λαμβάνοντας υπ' όψιν το ακόλουθο μεταθετικό διάγραμμα:



αρκεί να δείχθεί ότι ο συνδετικός ομομορφισμός $\partial_n: H_n(M_\bullet) \rightarrow H_n(M'_\bullet)$ της

$$\dots \xrightarrow{H_{n+1}(j_\bullet)} H_{n+1}(C(f)_\bullet) \xrightarrow{H_{n+1}(p_\bullet)} H_n(M_\bullet) \xrightarrow{\partial_n} H_n(M'_\bullet) \xrightarrow{H_n(j_\bullet)} \dots$$

επιπλέον με τον ομομορφισμό R -μοδίων $H_n(f_\bullet)$ των επαγόμενων από τον f_\bullet .

Για οιοδήποτε $x \in Z_n(M_\bullet)$ έχουμε $x = p_{n+1}(x, y)$, για κάποιο $y \in M'_{n+1}$ (καθότι ο p_{n+1} είναι επιμορφισμός). Κατά συνέπεια,

$$0_{M_{n-1}} = (d_n \circ p_{n+1})(x, y) \stackrel{\substack{\uparrow \\ \text{μεταθετικότητα} \\ \text{διαγράμματος}}}{=} (p_n \circ d'_{n+1})(x, y) = p_n(\underbrace{-d_n(x)}_{0_{M_{n-1}}}, d'_{n+1}(y) + f_n(x))$$

$$\implies (0_{M_{n-1}}, d'_{n+1}(y) + f_n(x)) \in \text{Ker}(p_n) \stackrel{\substack{\uparrow \\ \text{ακρίβεια}}}{=} \text{Im}(j_n), \text{ οπότε}$$

$$j_n(d'_{n+1}(y) + f_n(x)) = (0_{M_{n-1}}, d'_{n+1}(y) + f_n(x)) \mu \in d'_{n+1}(y) + f_n(x) \in M'_n.$$

Ταύτο σημαίνει ότι

$$d'_n(d'_{n+1}(y) + f_n(x)) = \underbrace{(d'_n \circ d'_{n+1})(y)}_{\substack{\text{M. αλυτό} \\ \text{σύμπλοκο}}} + \underbrace{(d'_n \circ f_n)(x)}_{\substack{\text{μεταθετικότητα} \\ \text{διαγράμματος}}} = \underbrace{(f_{n-1} \circ d_n)(x)}_{0}$$

$$\implies \partial_n(x + B_n(M_\bullet)) \stackrel{\substack{\uparrow \\ \text{για τον ομορ. του } \partial_n \\ \text{πλ. 2.3.11}}}{=} \underbrace{(d'_{n+1}(y) + f_n(x))}_{B_n(M'_\bullet)} + B_n(M'_\bullet) = \underbrace{f_n(x)}_{\substack{\text{βλ. 2.3.6} \\ \implies}} + B_n(M'_\bullet)$$

$$= H_n(f_\bullet)(x + B_n(M_\bullet)). \quad \square$$

2.4.12 Πρόταση. Εάν τα $M_\bullet = (M_n, d_n)_{n \in \mathbb{Z}}$, $M'_\bullet = (M'_n, d'_n)_{n \in \mathbb{Z}}$ είναι δύο αλυσωτά σύμπλοκα και $f_\bullet: M_\bullet \rightarrow M'_\bullet$ ένας αλυσωτός μετασχηματισμός, τότε ισχύει η συνεπαχυσή:

$$\left(H_n(f_\bullet) \text{ ισομορφισμοί, } \forall n \in \mathbb{Z} \right) \implies \left(H_n(C(f_\bullet)) = 0, \forall n \in \mathbb{Z} \right)$$

Απόδειξη: Θα χρησιμοποιήσουμε την μακρά ακριβή ακολουθία της προτάσεως 2.4.11.

Εάν οι $H_n(f_\bullet)$ είναι ισομορφισμοί, $\forall n \in \mathbb{Z}$, τότε $H_n(p_\bullet) = 0$ και $H_n(j_\bullet) = 0$, $\forall n \in \mathbb{Z}$ (βλ. 2.1.3(i)) [όπου $\text{Im}(H_n(p_\bullet)) = \{0_{H_{n-1}(M_\bullet)}\} = \text{Ker}(H_{n-1}(f_\bullet))$, $\text{Ker}(H_n(j_\bullet)) = H_n(M'_\bullet) = \text{Im}(H_n(f_\bullet))$]. Για να αποδειχθεί ότι $H_n(C(f_\bullet)) = 0$ αρκεί να αποδειχθεί ότι $(x, y) \in B_n(C(f_\bullet))$, $\forall (x, y) \in Z_n(C(f_\bullet))$.

Έστω λοιπόν τυχόν $(x, y) \in Z_n(C(f_\bullet)) = \text{Ker}(d_n^f)$. Τότε

$$(0_{M_{n-1}}, 0_{M'_n}) = d_n^f(x, y) = (-d_{n-1}(x), d'_n(y) + f_{n-1}(x))$$

$$\implies x \in Z_{n-1}(M_\bullet) \text{ και } d'_n(y) + f_{n-1}(x) = 0_{M'_n} \quad (1)$$

$$\text{Επειδή } \text{Im}(H_n(p_\bullet)) = \{0_{H_{n-1}(M_\bullet)}\} \implies H_n(p_\bullet)((x, y) + B_n(C(f_\bullet))) = B_{n-1}(M_\bullet)$$

$$\implies p_n(x, y) + B_{n-1}(M_\bullet) = B_{n-1}(M_\bullet) \implies x \in B_{n-1}(M_\bullet) = \text{Im}(d_n) \implies \exists x' \in M_n: d_n(x') = x \quad (2)$$

από τις (1) και (2) έπεται ότι

$$d'_n(y) + (f_{n-1} \circ d_n)(x') = 0_{M'_n} \implies d'_n(y) + (d'_n \circ f_n)(x') = 0_{M'_{n-1}}$$

μεταθετικότητα
διαγράμματος

$$\implies y + f_n(x') \in \text{Ker}(d'_n) =: Z_n(M'_\bullet) \implies ((y + f_n(x')) + B_n(M'_\bullet)) \in H_n(M'_\bullet)$$

" Ker(H_n(j_\bullet))

$$\implies \left. \begin{aligned} & \underbrace{H_n(j_\bullet)((y + f_n(x')) + B_n(M'_\bullet))}_{j_n(y + f_n(x') + B_n(C(f_\bullet)))} = 0_{H_n(C(f_\bullet))} = B_n(C(f_\bullet)) \end{aligned} \right\} \implies$$

$$\implies (0_{M_{n-1}}, y + f_n(x')) \in B_n(C(f_\bullet)) = \text{Im}(d_{n+1}^f) \implies \exists (z, w) \in M_n \oplus M'_{n+1}:$$

$$d_{n+1}^f(z, w) = (0_{M_{n-1}}, y + f_n(x')) \implies d_n(z) = 0_{M_{n-1}} \text{ και } d'_{n+1}(w) + f_n(z) = y + f_n(x') \quad (3)$$

"

$$(-d_n(z), d'_{n+1}(w) + f_n(z))$$

οπότε $d_{n+1}^f(z-x', w) = (-d_n(z-x'), d'_{n+1}(w) + f_n(z-x'))$

$$= (-d_n(z) + d_n(x'), d'_{n+1}(w) + f_n(z) - f_n(x')) \quad (4)$$

" 0_{M_{n-1}}

Από τις (3) και (4) έπεται ότι

$$(x, y) = (d_n(x'), y) = d_{n+1}^f(z-x', w) \in B_n(C(f_\bullet)). \quad \square$$

Για την απόδειξη του κυρίου θεωρήματος της παραπάνω ενότητας (βλ. 2.4.20) θα χρειασθούμε την πρόταση ορισμένων ακόμη προπαρασκευαστικών θεωρητικών αποτελεσμάτων.

2.4.13. Λήμμα Έστω M ένας R -κόσμος. Εάν τα U', U'' και W είναι υποκόσμοι του M με $M = U' + U''$, $(u_j')_{j \in J}$ ένα σύστημα γεννητόρων του $(U' + W) \cap U''$ και $(u_j'')_{j \in J}$ μια οικογένεια στοιχείων του U'' με $z_j := u_j' + u_j'' \in W$, τότε $W = (U' \cap W) + \sum_{j \in J} R z_j$.

Απόδειξη.

^{Αρκεί να} αποδειχθεί ότι κάθε στοιχείο του W ανήκει στο $(U' \cap W) + \sum_{j \in J} R z_j$.

Έστω τυχαίο $x \in W$. Τότε υπάρχουν στοιχεία $u' \in U', u'' \in U''$, τέτοια ώστε $x = u' + u''$. Προφανώς, $u'' \in (U' + W) \cap U''$ και υπάρχουν στοιχεία $(r_j)_{j \in J}$ του R : $u'' = \sum_{j \in J} r_j u_j''$ (επινοείται "αφενό ολα = 0" \mathbb{R}).

Ως εκ τούτου,

$$x = u' + \sum_{j \in J} r_j u_j'' = u' + \sum_{j \in J} r_j (u_j' + u_j'') - \sum_{j \in J} r_j u_j' = u' + \sum_{j \in J} r_j z_j - \sum_{j \in J} r_j u_j'$$

Θέτοντας $x' := u' - \sum_{j \in J} r_j u_j'$, έχουμε $x' \in U'$ και $x = x' + \sum_{j \in J} r_j z_j \in W$, οπότε $x' \in U' \cap W$. Αλλά τούτο σημαίνει ότι $x \in (U' \cap W) + \sum_{j \in J} R z_j$. \square

2.4.14. Σημείωση: Όταν στο λήμμα 2.4.13 έχουμε την ειδική περίπτωση όπου $U'' = Rx_1$, για κάποιο $x_1 \in M$, τότε το

$$I(W) := \{r \in R \mid rx_1 \in U' + W\}$$

είναι ένα ιδεώδες του R . Εάν το $I(W)$ παράγεται από την οικογένεια $(a_j)_{j \in J}$, τότε προφανώς η οικογένεια $(u_j'')_{j \in J}$, $u_j'' := a_j x_1$, παράγει τον μόνιο $(U' + W) \cap Rx_1$.

Το ακόλουθο θεώρημα γενικεύει την πρόταση 1.6.35.

2.4.15. Θεώρημα. Εάν ο M είναι ένας ελεύθερος R -μόδιος, όπου R ΠΚΓ, τότε κάθε υπομόδιος του M είναι ελεύθερος.

Απόδειξη. Έστω X μια βάση του και έστω W τυχόν υπομόδιος του.

Έστω $\beta := \left\{ \overset{\text{δισ.}}{\text{ζεύγη}} (Y, Z) \mid \begin{array}{l} Y \text{ υποσύνολο του } X \text{ και} \\ Z \text{ μια βάση του } \text{Lin}(Y) \cap W \end{array} \right\}$. Το β εφοδιάζεται με τη σχέση (μερικής) διατάξεως " \leq " ως εξής:

$$(Y_1, Z_1) \leq (Y_2, Z_2) \iff \overset{\text{από}}{Y_1 \subseteq Y_2} \text{ και } Z_1 \subseteq Z_2$$

(Το (β, \leq) είναι επαγωγικά διατεταγμένο βάσει αυτού του ορισμού.)

Προφανώς, $\beta \neq \emptyset$, διότι $(\emptyset, \emptyset) \in \beta$. Διαχωρίζουμε δύο περιπτώσεις:

Ⓐ Εάν το X είναι πεπερασμένο, τότε το β διαθέτει μέγιστοικό στοιχείο.

Πράγματι: επιλέγουμε ένα ζεύγος $(Y^*, Z^*) \in \beta$, όπως ώστε να ισχύει $\text{card}(Y^*) = \max \{ \text{card}(Y) \mid (Y, Z) \in \beta \}$. Για οποδήποτε $(Y, Z) \in \beta$, για το οποίο ισχύει $(Y^*, Z^*) \leq (Y, Z)$, έχουμε $Y^* = Y$. Επιπροσθέτως, το Z^* , όπως βάση του $\text{Lin}(Y^*) \cap W = \text{Lin}(Y) \cap W$, δεν περιέχεται γνησίως σε καμία άλλη βάση του $\text{Lin}(Y) \cap W$, οπότε $Z^* = Z$. Άρα το (Y^*, Z^*) είναι ένα μέγιστοικό στοιχείο του β .

Ⓑ Εάν το X είναι άπειρο, τότε το β διαθέτει (ωσαύτως) μέγιστοικό στοιχείο.

Θα εφαρμόσουμε το λήμμα του Zorn. Έστω β' ένα ολμώς διατεταγμένο υποσύνολο του β (ως προς την " \leq "). Θέτουμε $\Gamma := \bigcup \{ Y \mid (Y, Z) \in \beta' \}$ και $\Delta := \bigcup \{ Z \mid (Y, Z) \in \beta' \}$. Τα στοιχεία του Δ (λόγω της συνημιμόνισης όλων των στοιχείων $(Y, Z) \in \beta'$) είναι γραμμικώς ανεξάρτητα και παράγουν τον $\text{Lin}(\Gamma) \cap W$, διότι

$$\left(\bigcup \{ \text{Lin}(Y) \mid (Y, Z) \in \beta' \} \right) \cap W = \bigcap \{ \text{Lin}(Y) \cap W \mid (Y, Z) \in \beta' \}$$

Άρα το ζεύγος (Γ, Δ) είναι ένα άνω φράγμα του β' εντός του β .

Καθώς το λήμμα του Zorn, υπάρχει (και σε αυτήν την περίπτωση) κάποιο μέγιστοικό στοιχείο (Y^*, Z^*) του β (ανήκον στο β').

Από ταύδε και εις τα εξής θεωρούμε ένα μέγιστοικό στοιχείο $(Y^*, Z^*) \in \beta$ (χωρίς να ενδιαφερόμαστε για το εάν επιτύχαμε στην περίπτωση Ⓐ ή Ⓑ).

► Ισχυρισμός: $Y^* = X$ (Εάν αποδείχθει αυτός ο ισχυρισμός αληθής, τότε το Z^* είναι μια βάση των $\text{Lin}(Y^*) \cap W = \text{Lin}(X) \cap W = M \cap W = W$ και ο W ελεύθερος R -μόδος.) Ας υποθέσουμε ότι $Y^* \neq X$ και ας επιλέξουμε ένα στοιχείο $x_1 \in X \setminus Y^*$. Εάν η τομή $(\text{Lin}(Y^*) + Rx_1) \cap W$ διαθέτει κάποια βάση $Z' \supseteq Z^*$, τότε θα είχαμε $(Y^* \cup \{x_1\}, Z') \in \mathcal{B}'$, κάτι που θα αντίκειτο προς την υπόθεσή μας. Ως εκ τούτου, αρκεί να θεωρήσουμε μόνο το $(\text{Lin}(Y^*) + Rx_1) \cap W$ και -δίνως βάση της γενικότητας- να θέσουμε $M := \text{Lin}(Y^*) + Rx_1$ και $U' := \text{Lin}(Y^*)$, $U'' := Rx_1$. Το ελαθιμικό "άτομο" θα παρουσιασθεί (βάση των προαναφερθέντων) αποδεικνύοντας την ύπαρξη μιας βάσης Z' του W η οποία επέκτεινε τη βάση Z^* του $U' \cap W$.

Υποθέτουμε τους συμβολισμούς τους ελαχίστους στο λήμμα 2.4.13 και στη σημείωση 2.4.14. Ας υποθέσουμε ότι το $I(W) = \{r \in R \mid rx_1 \in U' + W\}$ δεν είναι το τετριμμένο ιδεώδες του R . Επειδή ο R είναι ΕΦ υποθέτουμε ΠΚΙ, υπάρχει $a_1 \in R \setminus \{0_R\}$: $I(W) = Ra_1$. Από το ορισμό του $I(W)$ έπεται η ύπαρξη ενός $u'_1 \in U'$ με $z_1 := u'_1 + a_1 x_1 \in W$. Σύμφωνα με το λήμμα 2.4.13, $W = (U' \cap W) + Rz_1$. Θέτουμε $Z' := \{Z^* \cup \{z_1\}\}$. Πραγμώς, $\text{Lin}(Z') = W$. Θα δείξουμε ότι το Z' είναι και γραμμικώς ανεξάρτητο. Εάν $r \in R$ και $\{r_z \mid z \in Z^*\}$ μια οικογένεια στοιχείων του R με "εξιδαν όλα τα r_z ίσα με 0_R ", και υποθέσουμε ότι

$$rz_1 + \sum_{z \in Z^*} r_z z = 0_M \Rightarrow rz_1 = - \sum_{z \in Z^*} r_z z \in \underbrace{\text{Lin}(Z^*)}_{U' \cap W},$$

τότε, επειδή

$$rz_1 = ru'_1 + ra_1 x_1 \Rightarrow ra_1 x_1 \in U' = \text{Lin}(Y^*) \left. \vphantom{ra_1 x_1} \right\} \Rightarrow ra_1 = 0_R$$

$Y^* \cup \{x_1\}$ γραμμικώς ανεξάρτητο

$$\xrightarrow{\substack{a_1 \neq 0_R \\ R \text{ α.π.}}} r = 0_R, \text{ έχουμε } \left. \begin{array}{l} \sum_{z \in Z^*} r_z z = 0_M \\ Z^* \text{ γραμμικώς ανεξ.} \end{array} \right\} \Rightarrow r_z = 0_R, \forall z \in Z^*.$$

Άρα το Z' αποτελεί βάση του W . Άτομο!

Κατά συνέπεια, ο ως άνω ισχυρισμός είναι αληθής και ο W είναι ένας ελεύθερος R -μόδος. \square

2.4.16. Ορισμός Ένα αλυσωτό δώμηλοκο $M. = (M_n, d_n)_{n \in \mathbb{Z}}$ καλείται ελεύθερο όταν οι R -μόδιοι M_n είναι ελεύθεροι για κάθε $n \in \mathbb{Z}$.

2.4.17. Θεώρημα Έστω $M. = (M_n, d_n)_{n \in \mathbb{Z}}$ ένα ελεύθερο αλυσωτό δώμηλοκο, όπου B π.κ.ι. Τότε το $M.$ είναι ευσταλό (βλ. 2.4.2) $\iff H_n(M.) = 0, \forall n \in \mathbb{Z}$.

Απόδειξη: (\implies) Εάν το $M.$ είναι ευσταλό, τότε $\exists h. : Id_{M.} \simeq 0.$,
 οπότε $H_n(M.) \stackrel{2.3.8}{=} H_n(Id.) (H_n(M.)) \stackrel{2.4.5}{=} H_n(0.) (H_n(M.)) = 0.$

(\impliedby) Εάν $H_n(M.) = 0, \forall n \in \mathbb{Z}$, τότε $Z_n(M.) = B_n(M.), \forall n \in \mathbb{Z}$,
 οπότε σχηματίζεται η βραχεία ακριβής ακολουθία

$$0 \longrightarrow B_n(M.) \xrightarrow{\text{ένθεση}} M_n \xrightarrow{d_n} B_{n-1}(M.) \longrightarrow 0, \forall n \in \mathbb{Z}.$$

\parallel $Z_n(M.)$ \parallel $Im(d_n) \subseteq M_{n-1}$

Επειδή ο M_{n-1} είναι (εξ υποθέσεως) ελεύθερος R -μόδιος (και R π.κ.ι.), και ο $B_{n-1}(M.)$ είναι ελεύθερος (σύμφωνα με το θεώρημα 2.4.15). Η πρόταση 2.1.15 μας πληροφορεί ότι η ως άνω βραχεία ακριβής ακολουθία είναι διασπώμενη.

Τούτο (επί τη βάση του Θεωρήματος 2.1.13) σημαίνει ότι υπάρχει $S_{n-1} \in Hom_R(B_{n-1}(M.), M_n)$ με $d_n \circ S_{n-1} = Id_{B_{n-1}(M.)}$. Ος εκ τούτου, ορίζεται καλώς ο ομομορφισμός R -μόδιων $h_n : M_n \rightarrow M_{n+1}$ μέσω του τύπου $h_n := S_n \circ (Id_{M_n} - S_{n-1} \circ d_n), \forall n \in \mathbb{Z}$.

Επειδή $d_{n+1} \circ h_n + h_{n-1} \circ d_n = d_{n+1} \circ S_n \circ (Id_{M_n} - S_{n-1} \circ d_n) + S_{n-1} \circ (Id_{M_{n-1}} - S_{n-2} \circ d_{n-1}) \circ d_n$

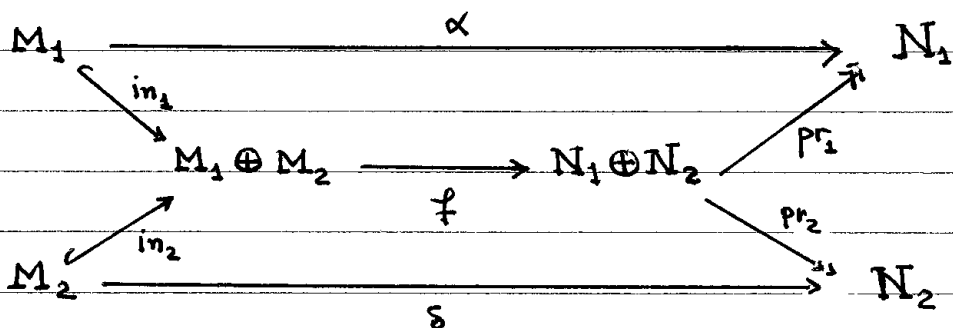
$$= \underbrace{d_{n+1} \circ S_n}_{Id_{B_n(M.)}} - \underbrace{d_{n+1} \circ S_n \circ S_{n-1} \circ d_n}_{Id_{B_n(M.)}} + S_{n-1} \circ d_n - \underbrace{S_{n-1} \circ S_{n-2} \circ d_{n-1} \circ d_n}_{0}$$

$M.$ αλυσωτό δώμηλοκο $\rightarrow 0$

$= Id_{B_n(M.)} - 0, \text{ έχουμε } h. : Id_{M.} \simeq 0. \quad \square$

\parallel $Z_n(M.)$

2.4.18. Σημείωση. Εάν οι M_1, M_2, N_1, N_2 είναι τέσσερα R -μδίοι και $f \in \text{Hom}_R(M_1 \oplus M_2, N_1 \oplus N_2)$, τότε η εικόνα $f(x, y)$ ενός στοιχείου $(x, y) \in M_1 \oplus M_2$ μπορεί να γραφεί ως διατεταγμένο ζεύγος στον $N_1 \oplus N_2$ υπό την μορφή $f(x, y) = (\alpha(x) + \beta(y), \gamma(x) + \delta(y))$, όπου $\alpha: M_1 \rightarrow N_1, \beta: M_2 \rightarrow N_1, \gamma: M_1 \rightarrow N_2, \delta: M_2 \rightarrow N_2$, καταλλήλως επιλεγόμενοι ομομορφισμοί R -μδίων. Πράγματι: θεωρώντας το διάγραμμα



αρκεί να θέσουμε $\begin{cases} \alpha = pr_1 \circ f \circ in_1, & \beta = pr_1 \circ f \circ in_2, \\ \gamma = pr_2 \circ f \circ in_1, & \delta = pr_2 \circ f \circ in_2. \end{cases}$

Συνήθως συμβολιζόμαστε (εν είδει πίνακα): $f(x, y) = \begin{pmatrix} \alpha(x) & \beta(y) \\ \gamma(x) & \delta(y) \end{pmatrix}$.

2.4.19 Θεώρημα Εάν τα $M_* = (M_n, d_n)_{n \in \mathbb{Z}}$, $M'_* = (M'_n, d'_n)_{n \in \mathbb{Z}}$ είναι δυο ελεύθερα αλγεβρά ετήκλωκα και $f_*: M_* \rightarrow M'_*$ ένας αλγεβρικός μετασχηματισμός. Εάν ο R είναι ΠΚΙ, τότε $(H_n(C(f_*)) = 0, \forall n \in \mathbb{Z}) \implies \begin{pmatrix} \circ f_* \text{ είναι αλγεβρική} \\ \text{ισοδυναμία (βλ. 2.4.3)} \end{pmatrix}$

Απόδειξη: Εάν $H_n(C(f_*)) = 0, \forall n \in \mathbb{Z}$, τότε (κατά το θεώρημα 2.4.17) υπάρχει μια συστέλλουσα ομοτοπία $h_*: Id_{C(f_*)} \simeq 0$, ήτοι μια ακολουθία ομομορφισμών R -μδίων $(h_n: C(f_n) \rightarrow C(f_{n+1}))_{n \in \mathbb{Z}}$, τέτοια ώστε

να ισχύει: $d'_{n+1} \circ h_n + h_{n-1} \circ d_n^f = Id_{C(f_n)}, \forall n \in \mathbb{Z}. \quad (1)$

Βάσει των όσων προαναφέρθηκαν στη σημείωση 2.4.18, ορίζονται κατά τρόπο φυσικό ομομορφισμοί $\begin{cases} \alpha_{n-1}: M_{n-1} \rightarrow M_n, & \beta_n: M'_n \rightarrow M_n, \\ \gamma_{n-1}: M_{n-1} \rightarrow M'_{n+1}, & \delta_n: M'_n \rightarrow M'_{n+1} \end{cases}$

με $h_n(x,y) = (\alpha_{n-1}(x) + \beta_n(y), \gamma_{n-1}(x) + \delta_n(y))$.

Προφανώς,

$$d_{n+1}^f(h_n(x,y)) = (-d_n(\alpha_{n-1}(x) + \beta_n(y)), d_{n+1}^r(\gamma_{n-1}(x) + \delta_n(y)) + f_n(\alpha_{n-1}(x) + \beta_n(y))) \quad (2)$$

και

$$\begin{aligned} h_{n-1}(d_n^f(x,y)) &= h_{n-1}(-d_{n-1}(x), d_n^r(y) + f_{n-1}(x)) \\ &= (-\alpha_{n-2}(d_{n-1}(x)) + \beta_{n-1}(d_n^r(y)) + \beta_{n-1}(f_{n-1}(x)), -\gamma_{n-2}(d_{n-1}(y)) + \delta_{n-1}(d_n^r(y) + f_{n-1}(x))) \end{aligned} \quad (3)$$

Προσθέτοντας κατά μέλη τις (2) και (3), και λαμβάνοντας υπ' όψιν την (1)

συμπεραίνουμε τα ακόλουθα:

(i) Για $x = 0_{M_{n-1}}$, y τυχόν:

$$(0_{M_{n-1}}, y) = (-d_n(\beta_n(y)) + \beta_{n-1}(d_n^r(y)), d_{n+1}^r(\delta_n(y)) + f_n(\beta_n(y)) + \delta_{n-1}(d_n^r(y)))$$

$$\Rightarrow \begin{cases} \beta_{n-1} \circ d_n^r = d_n \circ \beta_n, \forall n \in \mathbb{Z} & \Leftrightarrow \eta \beta_n = (\beta_n)_{n \in \mathbb{Z}} : M' \rightarrow M. \text{ είναι αλυσωτός μετασχηματισμός} \\ d_{n+1}^r \circ \delta_n + \delta_{n-1} \circ d_n^r = Id_{M_n} - f_n \circ \beta_n \quad (5) & (4) \end{cases}$$

(ii) Για $y = 0_{M_n}$, x τυχόν:

$$(x, 0_{M_n}) = (-d_n(\alpha_{n-1}(x)) - \alpha_{n-2}(d_{n-1}(x)) + \beta_{n-1}(f_{n-1}(x)), \dots)$$

Εξισώνοντας τις πρώτες συντεταγμένες λαμβάνουμε:

$$\begin{aligned} -d_n \circ \alpha_{n-1} - \alpha_{n-2} \circ d_{n-1} &= Id_{M_{n-1}} - \beta_{n-1} \circ f_{n-1} \quad (\text{και ανεβάζοντας τους δείκτες κατά 1}) \\ -d_{n+1} \circ \alpha_n - \alpha_{n-1} \circ d_n &= Id_{M_n} - \beta_n \circ f_n \quad (6) \end{aligned}$$

Από τις (4), (5) και (6) έπεται ότι $\left\{ \begin{matrix} (f \circ \beta)_n \simeq Id_{M'_n} \\ (\beta \circ f)_n \simeq Id_{M_n} \end{matrix} \right\} \Rightarrow f$ αλυσωτή ισοδυναμία. \square

2.4.20. Θεώρημα. Εάν τα $M_n = (M_n, d_n)_{n \in \mathbb{Z}}$, $M'_n = (M'_n, d'_n)_{n \in \mathbb{Z}}$ είναι δυο ελεύθερα αλυσωτά σύμπλοκα, $f_n : M_n \rightarrow M'_n$ ένας αλυσωτός μετασχηματισμός και R ΠΚΤ, τότε $(\beta \circ f_n)$ είναι αλυσωτή ισοδυναμία $\Leftrightarrow (H_n(f_n))$ ισομορφισμός, $\forall n \in \mathbb{Z}$.

Απόδειξη: (\Rightarrow) Βλ. Πρόταση 2.4.7, σελ. 110.

$$(\Leftarrow) (H_n(f_n)) \text{ ισομορφισμός, } \forall n \in \mathbb{Z} \xrightarrow{2.4.12} (H_n(C(f_n)) = 0, \forall n \in \mathbb{Z}) \xrightarrow{2.4.13} f_n \text{ αλυσωτή ισοδυναμία. } \square$$